

João Pedro Falhas Cavaleiro

# Andarilho de reabilitação assistido eletronicamente

Dissertação submetida para a satisfação parcial dos requisitos do grau de  
Mestre em Engenharia Eletrotécnica e de Computadores

na área de especialização em Computadores

Setembro de 2017



UNIVERSIDADE DE COIMBRA





**FCTUC** FACULDADE DE CIÊNCIAS  
E TECNOLOGIA  
UNIVERSIDADE DE COIMBRA

## **Andarilho de reabilitação assistido eletronicamente**

**João Pedro Falhas Cavaleiro**

Dissertação para obtenção do Grau de Mestre em  
**Engenharia Eletrotécnica e de Computadores**

Orientador: Doutor Manuel Marques Crisóstomo  
Co-Orientador: Doutor João Paulo Morais Ferreira

### **Júri**

Presidente: Doutor Mário João Simões Ferreira dos Santos  
Orientador: Doutor Manuel Marques Crisóstomo  
Vogal: Doutor Rui Alexandre de Matos Araújo

**Setembro de 2017**



*You never fail until you stop trying.*

- Albert Einstein

*Success is not final, failure is not fatal: it is the courage to continue that counts.*

- Winston S. Churchill

*The dictionary is the only place that success comes before work. Work is the key to success, and hard work can help you accomplish anything.*

- Vince Lombardi Jr.

---

---

---

# Agradecimentos

O espaço limitado desta secção, seguramente, não me permite agradecer como devia a todas as pessoas, que ao longo do meu mestrado me apoiaram e ajudaram a cumprir os meus objetivos. Sendo assim, quero deixar-lhes algumas palavras para expressar a minha mais profunda gratidão.

Em primeiro lugar, expressar o meu profundo agradecimento à minha família, em especial aos meus pais, tia e irmão. Um enorme obrigado por estarem sempre presentes nos bons e maus momentos, e por acreditarem sempre em mim.

Quero agradecer ao Doutor António Paulo Mendes Breda Dias Coimbra (ISR, DEEC-UC), ao Doutor João Paulo Morais Ferreira (ISR, ISEC-IPC) e ao Doutor Manuel Marques Crisóstomo (ISR, DEEC-UC), por toda a orientação e apoio prestados que muito elevaram o meu grau de conhecimento e, sem dúvida, estimularam o meu desejo de querer, sempre, saber mais e a vontade constante de querer fazer melhor.

Aos meus amigos, pela vossa amizade, companheirismo e ajuda, que contribuíram, assim, para que cada dia fosse encarado com especial motivação.

À Fundação para a Ciência e Tecnologia e ao programa COMPETE 2020 pelo apoio financeiro ao projeto “Automatic Adaptation of a Humanoid Robot Gait to Different Floor-Robot Friction Coefficients” (PTDC/EEI-AUT/5141/2014).

Quero dedicar este trabalho à minha família e amigos, pois sem eles, a sua realização não seria possível.

Terminando assim esta etapa, espero poder de alguma forma retribuir e compensar todo o carinho, apoio e dedicação que, constantemente, me ofereceram.

A todos,

Muito Obrigado.



# Abstract

As we observe human nature, we realize that the ability to walk and move on our own is one of the most important and practical factors of our daily life. Without it, our actions are immediately reduced and we need constant help.

Walkers are widely used devices serving as support for users, for a much safer locomotion due to their support base. If these devices are already good enough by themselves, if we equip them with several technologies for better service and support to their users, it would be even better.

Therefore, what is intended with this project is to equip a common walker with distance sensors to detect obstacles around it and the distance between the walker and the user, thereby creating an obstacle detection system; build an automatic braking system that can work together with the distance sensors, if an obstacle is detected the system automatically locks to ensure the safety of the user; equip wheels with Hall effect sensors to count rotations, set direction and measure speeds. It will also have a speed control system, if the user exceeds a certain speed limit (safety speed) the walker automatically locks up, so that the user does not run the risk of, for example, falling while walking in a inclined street. Finally, create a danger alarm system and several warning lights, to give a much greater audio-visual support to the user. All of these mechanisms specified above will be controlled by an Arduino so that the user feels more secure and comfortable when using this device.

# Keywords

Electronic walker, Automatic brakes, Obstacle detector, Speed, Arduino



# Resumo

Ao observarmos a natureza humana, apercebemo-nos de que a capacidade de locomoção e movimentação é um dos fatores mais importantes e práticos do nosso dia-a-dia. Sem ela, as nossas ações são imediatamente reduzidas e passamos a necessitar de ajuda constante.

Os andarilhos são aparelhos muito utilizados, servem de apoio aos utentes para uma locomoção muito mais segura devido à sua base de sustentação. Se estes aparelhos já são suficientemente bons por si só, se os equipássemos com diversas tecnologias para um melhor serviço e apoio a estes utentes, seria ainda melhor.

Sendo assim, o que se pretende com este projeto é equipar um andarilho comum com sensores de distância para detetar obstáculos à sua volta e a distância entre o andarilho e o utente, criando, deste modo, um sistema de deteção de obstáculos; construir e automatizar travões, para que desta forma se possa desenvolver um sistema de travagem automático, que funcione em conjunto com os sensores de distância, isto é, caso seja detetado um obstáculo o sistema trava automaticamente para garantir a segurança do utente; equipar as rodas com sensores de efeito de Hall para contar as rotações, definir o sentido e medir velocidades. Irá também, ter um sistema de controlo de velocidade, isto é, caso o utente ultrapasse um determinado limite de velocidade (velocidade de segurança) o andarilho trava automaticamente, para que assim o utente não corra o risco de, por exemplo, cair enquanto desce uma rua inclinada. Finalmente, criar um sistema de alarme de perigo e várias luzes de aviso, para dar um maior apoio audiovisual ao utente. Todos estes mecanismos especificados em cima, serão controlados por um Arduino para que o utente se sinta mais seguro e confortável ao utilizar este aparelho.

# Palavras-Chave

Andarilho eletrónico, Travões automáticos, Detetor de obstáculos, Velocidade, Arduino

---

---

# Índice

|          |  |           |
|----------|--|-----------|
| <b>1</b> | <b>Introdução</b>                          | <b>1</b>  |
| 1.1      | Objetivos . . . . .                        | 2         |
| 1.2      | Estrutura da dissertação . . . . .         | 3         |
| <b>2</b> | <b>Revisão da Literatura</b>               | <b>5</b>  |
| 2.1      | Andarilho . . . . .                        | 6         |
| 2.2      | Andarilhos Inteligentes . . . . .          | 7         |
| 2.2.1    | Andarilho de Einbinder . . . . .           | 7         |
| 2.2.2    | Andarilho SIMBIOSIS . . . . .              | 7         |
| 2.2.3    | Andarilho Mobil . . . . .                  | 8         |
| 2.2.4    | UFES smart walker . . . . .                | 8         |
| <b>3</b> | <b>Componentes Utilizados</b>              | <b>9</b>  |
| 3.1      | Andarilho Utilizado . . . . .              | 10        |
| 3.2      | Arduino . . . . .                          | 11        |
| 3.2.1    | Arduino Mega 2560 . . . . .                | 11        |
| 3.3      | Servo Motores . . . . .                    | 12        |
| 3.4      | Sensor de efeito de Hall . . . . .         | 13        |
| 3.5      | Sensores de distância . . . . .            | 15        |
| 3.6      | Buzzer, LEDs e Botões . . . . .            | 16        |
| 3.7      | Materiais do sistema de travagem . . . . . | 17        |
| <b>4</b> | <b>Hardware e Software Desenvolvidos</b>   | <b>19</b> |
| 4.1      | Sistema de travagem automático . . . . .   | 20        |
| 4.1.1    | Hardware . . . . .                         | 20        |
| 4.1.2    | Software . . . . .                         | 23        |
| 4.2      | Sistema de deteção de obstáculos . . . . . | 24        |
| 4.2.1    | Hardware . . . . .                         | 24        |
| 4.2.2    | Software . . . . .                         | 25        |
| 4.3      | Sistema de deteção de movimento . . . . .  | 30        |

## Índice

---

|          |                                     |           |
|----------|-------------------------------------|-----------|
| 4.3.1    | <i>Hardware</i>                     | 30        |
| 4.3.2    | <i>Software</i>                     | 32        |
| 4.4      | Sistema de medição de força         | 36        |
| 4.5      | Sistema de Alarme                   | 36        |
| 4.5.1    | <i>Hardware</i>                     | 36        |
| 4.5.2    | <i>Software</i>                     | 37        |
| 4.6      | Modo de Funcionamento               | 38        |
| <b>5</b> | <b>Testes e Resultados</b>          | <b>41</b> |
| <b>6</b> | <b>Conclusões e Trabalho Futuro</b> | <b>47</b> |
| 6.1      | Trabalho Futuro                     | 49        |
|          | <b>Referências</b>                  | <b>51</b> |
| <b>7</b> | <b>Apêndice</b>                     | <b>53</b> |

# Lista de Figuras

|      |  |    |
|------|--|----|
| 2.1  | Exemplos de tipos de andarilho presentes no mercado. . . . .   | 6  |
| 2.2  | Andarilho SIMBIOSIS do grupo CSIC. . . . .   | 7  |
| 2.3  | Andarilho Mobil. . . . .   | 8  |
| 2.4  | Protótipo do andarilho UFES smart walker. . . . .  | 8  |
| 3.1  | Andarilho utilizado no projeto. . . . .  | 10 |
| 3.2  | Arduino Mega 2560 . . . . .  | 12 |
| 3.3  | Servo motor Hitec HSR-5995TG - Ultra Torque . . . . .  | 13 |
| 3.4  | Sensor de efeito Hall Allegro A1101. . . . .   | 14 |
| 3.5  | Diagrama de funcionamento do sensor de efeito Hall Allegro A1101. . . . .  | 14 |
| 3.6  | Sensor de distância Sharp. . . . .   | 15 |
| 3.7  | Exemplo da relação entre distância medida (cm) e o <i>output</i> obtido (V). . . . .   | 16 |
| 3.8  | Piezo Buzzer. . . . .  | 16 |
| 3.9  | Figura do LED e do Botão de pressão. . . . .   | 17 |
| 3.10 | Materiais utilizados no suporte do sistema de travagem. . . . .  | 17 |
| 3.11 | Materiais utilizados no suporte do sistema de travagem. . . . .  | 18 |
| 4.1  | Sistema de travagem automático final. . . . .  | 20 |
| 4.2  | Diagrama de materiais utilizados no sistema de travagem. . . . .   | 21 |
| 4.3  | Diagrama do funcionamento do sistema de travagem. . . . .  | 22 |
| 4.4  | Ligação do servo motor ao arduino. . . . .   | 23 |
| 4.5  | Posição dos sensores de distância - visão geral. . . . .   | 24 |
| 4.6  | Posição dos sensores de distância frontais e laterais (o mais à esquerda aponta para o chão, o que está no meio aponta para a frente e o último é o sensor da lateral esquerda.) . . . . . | 25 |
| 4.7  | Esquema de ligação dos sensores de distância. . . . .  | 25 |
| 4.8  | Gráficos de cálculo das funções dos sensores traseiros. . . . .  | 27 |
| 4.9  | Gráficos de cálculo das funções dos sensores laterais. . . . .   | 27 |
| 4.10 | Gráficos de cálculo das funções dos sensores frontal e ground. . . . .   | 27 |
| 4.11 | Posição dos ímanes e dos sensores de Hall na roda do andarilho. . . . .  | 31 |

## Lista de Figuras

---

|      |  |    |
|------|--|----|
| 4.12 | LEDs e esquema do Sistema de movimento. . . . .  | 32 |
| 4.13 | Esquema de funcionamento da detecção do sentido. . . . .   | 35 |
| 4.14 | Sistema de alarme do andarilho. . . . .  | 36 |
| 4.15 | Botão de pressão do andarilho. . . . .   | 37 |
| 4.16 | Esquema de ligações do Botão de pressão e do LED de funcionamento. . . . .   | 37 |
| 5.1  | Resultados com utilização da função de potência com e sem filtro de média  | 43 |
| 5.2  | Resultados com utilização da função map com e sem filtro de média . . . .  | 43 |
| 5.3  | Resultados com utilização da função map com filtro de média com o sensor a uma inclinação de 45° . . . . .   | 43 |
| 5.4  | Andarilho na presença de um obstáculo frontal e os respectivos valores mostrados no monitor série do Arduino (a, b); Andarilho na ausência de qualquer obstáculo e os respectivos valores mostrados no monitor série (c, d). . . . . | 44 |
| 5.5  | Andarilho quando deteta o utente e os respectivos valores mostrados no monitor série do Arduino (a, b); Andarilho quando não deteta o utente e os respectivos valores mostrados no monitor série do Arduino (c, d). . . . .          | 44 |
| 5.6  | Gráficos de resultados dos testes da velocidade na passadeira. . . . .   | 45 |
| 7.1  | Sensor de Força FlexyForce. . . . .  | 54 |
| 7.2  | Sensores de força do andarilho. . . . .  | 55 |
| 7.3  | Relação entre a força e a resistência à esquerda e Relação entre a força e a condutância à direita. . . . .  | 55 |

# Lista de Tabelas

|     |   |    |
|-----|---|----|
| 3.1 | Tabela de especificações do Arduino Mega 2560. . . . .  | 12 |
| 3.2 | Tabela de especificações do servo motor Hitec HSR-5995TG - Ultra Torque. . . . .                        | 13 |
| 3.3 | Tabela de pontos de transição do sensor de efeito de Hall Allegro A1101. . . . .                        | 14 |
| 3.4 | Tabela de características dos sensores de distância Sharp GP2Y0A41SK F 28 e Sharp GP2Y0A21YK0F. . . . . | 15 |
| 3.5 | Tabela de características do Piezo Buzzer. . . . .  | 16 |
| 4.1 | Tabela de estados efetuados pelos sensores de Hall. . . . .   | 31 |
| 5.1 | Resultados dos testes aos travões. . . . .  | 42 |



# Lista de Acrónimos

|               |   |
|---------------|---|
| <b>CSIC</b>   | Consejo Superior de Investigaciones Científicas     |
| <b>UFES</b>   | Universidade Federal de Espírito Santo              |
| <b>PCB</b>    | Printed Circuit Board                               |
| <b>IDE</b>    | Integrated Development Environment                  |
| <b>MHz</b>    | Unidade de medida: Mega Hertz                       |
| <b>USB</b>    | Universal Serial Bus                                |
| <b>V</b>      | Unidade de medida: Volts                            |
| <b>mA</b>     | Unidade de medida: mili Ampère                      |
| <b>DC</b>     | Direct Current                                      |
| <b>I/O</b>    | Input/Output  |
| <b>kB</b>     | Unidade de medida: Quilobyte                        |
| <b>SRAM</b>   | Static Random Access Memory                         |
| <b>EEPROM</b> | Electrically-Erasable Programmable Read-Only Memory |
| <b>LED</b>    | Light Emitting Diode                                |
| <b>mm</b>     | Unidade de medida: Milímetros                       |
| <b>g</b>      | Unidade de medida: gramas                           |
| <b>kg.cm</b>  | Unidade de medida: Quilogramas centímetro           |
| <b>ms</b>     | Unidade de medida: milissegundos                    |
| <b>BOP</b>    | Operate point (Intensidade de campo magnético)      |

|              |  |
|--------------|--|
| <b>BRP</b>   | Release point (Intensidade de campo magnético) |
| <b>BHYS</b>  | Hysteresis (Intensidade de campo magnético)    |
| <b>PSD</b>   | Position Sensitive Detector                    |
| <b>IREDD</b> | Infrared Emitting Diode                        |
| <b>cm</b>    | Unidade de medida: Centímetros                 |
| <b>dB</b>    | Unidade de medida: decibel                     |
| <b>Hz</b>    | Unidade de medida: Hertz                       |
| <b>ADC</b>   | Analog-to-Digital Converter                    |
| <b>rpm</b>   | Unidade de medida: rotações por minuto         |
| <b>km/h</b>  | Unidade de medida: Quilómetros por hora        |
| <b>lbs</b>   | Unidade de medida: libras                      |
| <b>ABS</b>   | Anti-lock Braking System                       |
| <b>GPS</b>   | Global Positioning System                      |
| <b>T</b>     | Unidade de medida: Tesla                       |

# 1

## **Introdução**

## 1. Introdução

---

No decorrer dos dias de hoje, um dos mecanismos mais importantes para que possamos ter a nossa própria autonomia é a capacidade de locomoção e mobilidade. São muitos os casos de perda desta capacidade importantíssima, seja por motivo de acidente ou na maior parte dos casos, devido aos longos anos vividos. Por isso, é extremamente importante dispor de um mecanismo de apoio e/ou reabilitação para que estas pessoas, portadoras de limitações motoras, possam viver de uma forma mais segura e confortável [1] [2].

Entre todos os mecanismos de reabilitação motora existentes, foi o andarilho o escolhido como objeto principal para a realização deste projeto. Devido à sua base de sustentação ampla, torna a marcha do utente muito mais segura e estável, permite um alívio da força que é exercida nos membros inferiores e transmite ao utente um maior equilíbrio ao movimentar-se. Existem no mercado vários tipos de andarilhos dos quais se irá falar mais afincadamente no capítulo 2, mas de uma forma geral, existem andarilhos fixos e móveis. Os andarilhos móveis possibilitam ao utente uma marcha ininterrupta, o que lhe garante uma maior independência e uma probabilidade de quedas reduzida. No caso dos andarilhos fixos, estes não possuem rodas pelo que exigem do utente força suficiente para o levantar a cada passo que efetua, contudo possui uma maior estabilidade quando se encontra apoiado no chão [2] [3] [4].

Neste projeto irá ser utilizado um andarilho com uma base móvel de três rodas, o que é mais indicado para casos de reabilitação, pois não precisa de ser levantado do solo para que o utente se possa deslocar.

Este mesmo andarilho já tinha sido adquirido e utilizado num projeto anterior, onde lhe foram aplicadas algumas soluções tecnológicas, como os sensores de força nos punhos, sensores de afastamento do corpo em relação ao andarilho e a comunicação de dados recolhidos por Bluetooth para uma aplicação de telemóvel [1] [5].

### 1.1 Objetivos

O objetivo principal deste projeto é modificar um andarilho convencional através da introdução de diversas tecnologias, para que este se torne mais fiável e seguro para a utilização do utente.

Em primeiro lugar, irá ser desenvolvido um sistema de travagem automático totalmente criado e construído do zero. O andarilho em si já possui um sistema de travagem manual, com alavancas nos punhos (em semelhança ao sistema usado pelas bicicletas convencionais) o qual só é acionado se o utente intervir, obrigando-o a ter força e rapidez suficiente caso queira ser bem sucedido. Portanto, para que o utente não tenha de acionar manualmente o travão, irá ser desenvolvido um sistema de travagem automático.

Em segundo lugar, irá ser desenvolvido um sistema de deteção de obstáculos, colo-

cando diversos sensores de distância à volta do andarilho, capazes de detetar obstáculos acionando imediatamente o sistema de travagem automático.

O sistema de alarme criado irá garantir que aquando da deteção de um obstáculo pelos sensores de distância, sejam ativados os alarmes sonoro e luminoso (luz LED) de forma a alertar o utilizador.

Será desenvolvido um sistema que permite saber a velocidade a que o utente se está a deslocar, assim como saber o sentido do movimento (andar para frente ou andar para trás).

Além disso, o andarilho também possui um sistema de medição da força, o qual já tinha sido implementado num projeto anterior, sendo o seu funcionamento explicado em anexo (apêndice).

## 1.2 Estrutura da dissertação

Esta dissertação encontra-se dividida em 6 capítulos. Após a introdução, o capítulo 2 é a revisão da literatura efetuada, isto é, refere como a locomoção e a marcha humana são importantes, dá-nos a conhecer o andarilho como equipamento de reabilitação e especifica alguns dos projetos efetuados com andarilhos. No capítulo 3 encontram-se detalhados e especificados todos os materiais e dispositivos utilizados no projeto. O capítulo 4 aborda a construção e criação de todos os sistemas desenvolvidos e aplicados no andarilho, isto é, quer seja *hardware* quer seja *software*, encontra-se detalhadamente explicada a sua criação e desenvolvimento. É também, onde está explicado o modo de funcionamento, pois é onde se explica como todos os sistemas desenvolvidos interagem entre si. No capítulo 5 estão demonstrados todos os testes efetuados e respetivos resultados. Finalmente, o capítulo 6 apresenta as conclusões tiradas ao longo da dissertação e é onde estão as sugestões para trabalho futuro.

Ainda existe um apêndice no qual se pode encontrar todo o código escrito no projeto, bem como a explicação do funcionamento do sistema de medição da força.

## 1. Introdução

---

# 2

## **Revisão da Literatura**

## 2. Revisão da Literatura

---

Para que o produto seja inovador e traga benefício sob alguma forma, em todos os projetos, o autor deve ter conhecimento dos equipamentos já existentes. Para tal, será necessário realizar uma sondagem das soluções existentes.

Este capítulo sintetiza os pontos essenciais do que é um andador, quais são os seus objetivos principais e apresenta alguns tipos de andador de reabilitação tecnológicos já existentes.

Para que o Homem seja um ser autónomo necessita de uma característica essencial, a capacidade de locomoção.

Nos dias de hoje, equipamentos como cadeiras de rodas, andadores, próteses e até bengalas, ajudam a pessoa a contrariar disfunções da marcha e a restabelecer, de certa forma, a sua capacidade de locomoção. Dos equipamentos referidos, todos têm vantagens e desvantagens de acordo com a tipologia da disfunção do utilizador, mas falando em termos gerais, para utentes em reabilitação ou com fraca capacidade de movimentação, o dispositivo mais relevante para o seu auxílio é o andador [1].

### 2.1 Andador

O andador é um dispositivo de suporte de elevada fiabilidade que pode prevenir quedas e oferece segurança em caso de tonturas. Na maior parte dos casos, é feito em alumínio resistente e a sua altura é regulável, o que permite uma maior flexibilidade para a adaptação ao utente.

O andador presta apoio ao utente rodeando-o de 3 lados, fornecendo uma base de apoio mais ampla do que qualquer outro equipamento de apoio no mercado. Estes equipamentos podem também possuir rodas ou não, figura 2.1, e a sua escolha deverá ser sempre ponderada de acordo com as capacidades físicas e mentais do utente [1].



Figura 2.1: Exemplos de tipos de andador presentes no mercado.

A utilização destes equipamentos é feita por indivíduos que necessitam de ajuda na sua locomoção, como pessoas idosas. No entanto, a utilização do andador está maioritariamente associada a doenças neurológicas e doenças osteoarticulares, como osteoporose e alterações nas articulações metatarsofalângicas.

A hipótese de o utente cair em escadas/varandas e o andarilho "escapar" por falta de aderência ao solo, são alguns exemplos de inconvenientes que os andarilhos convencionais apresentam. Os andarilhos com rodas apresentam algumas melhorias como sistemas de travagem manual, no entanto, alguns utentes podem não ter a força necessária para usar esses sistemas de forma eficiente [1] [3].

## 2.2 Andarilhos Inteligentes

Para combater os inconvenientes de um andarilho convencional, foi criado um novo grupo de andarilhos chamados de Andarilhos Inteligentes ou *Smart Walkers*. Na sua criação e produção são integrados sistemas e componentes avançados de tecnologias de robótica, eletrónica e mecânica. São muitas as empresas e entidades que procuram melhorar a segurança e a fiabilidade destes equipamentos, e já existem, de facto, diversos mecanismos melhorados no mercado.

### 2.2.1 Andarilho de Einbinder

Einbinder, em 2010 [6], apresenta um modelo de andarilho que consiste na modificação de um andarilho convencional com rodas, onde é integrado um sistema de travagem eletrónico acionado através da ação de um botão de pressão. Ou seja, o simples facto de o utente carregar no botão, faria com que as rodas do andarilho travassem, sendo o seu principal objetivo prevenir quedas [1].

### 2.2.2 Andarilho SIMBIOSIS

O grupo CSIC - Espanha, em 2010, desenvolveu o andarilho SIMBIOSIS [7], representado na figura 2.2, que utiliza diversos sensores para detetar e identificar o movimento do utente. Com a aplicação de sensores de ultra-sons, não só consegue detetar o movimento do pé do utente como também consegue prever as intenções do movimento que são detetadas por sensores de força colocados nos apoios do ante-braço do andarilho [1].



Figura 2.2: Andarilho SIMBIOSIS do grupo CSIC.

## 2. Revisão da Literatura

---

### 2.2.3 Andarilho Mobil

O andarilho multifuncional Mobil, figura 2.3, é um equipamento que foi pensado para oferecer um maior apoio ao utente, através de plataformas e rodas traseiras motorizadas. Para além destas modificações, o Mobil conta com controlo remoto e pode seguir o utente, se este usar um cinto ativo que envia sinais ultra-som para o andarilho. Consegue também, evitar obstáculos através do uso de ultra-sons [1] [3].



Figura 2.3: Andarilho Mobil.

### 2.2.4 UFES smart walker

Na Universidade Federal de Espírito Santo no Brasil, foi desenvolvido o protótipo UFES smart walker, figura 2.4, que tem como objetivo principal entender os movimentos feitos pelo utente, para desta maneira auxiliar as pessoas com dificuldades de locomoção a poderem andar com mais confiança e independência. Para isso, utiliza um sensor laser e sensores de força nos apoios dos ante-braços [1] [7] [8].

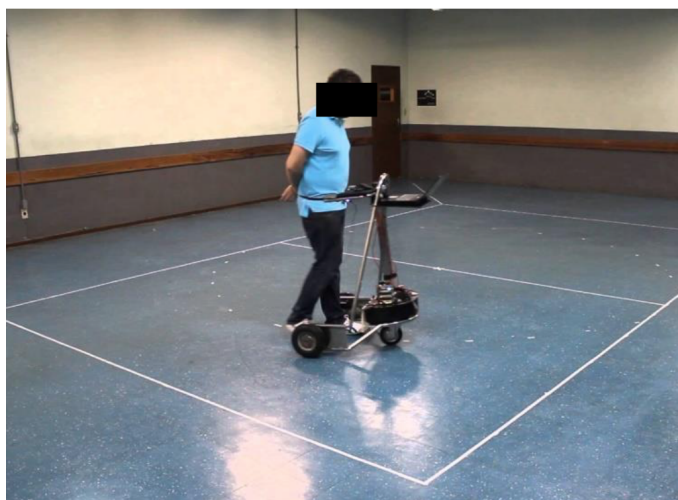


Figura 2.4: Protótipo do andarilho UFES smart walker.

# 3

## **Componentes Utilizados**

### 3. Componentes Utilizados

---

Todos os materiais/componentes utilizados na concepção deste projeto, vão ser apresentados e descritos neste capítulo.

#### 3.1 Andarilho Utilizado

O andarilho utilizado neste projeto foi um andarilho de três rodas, duas traseiras e uma frontal, como indicado na figura 3.1.



Figura 3.1: Andarilho utilizado no projeto.

Ao longo da realização deste trabalho, foram adicionados vários componentes a esse andarilho convencional de forma a torná-lo mais seguro e fiável, para que o utilizador se possa sentir mais confiante aquando da sua utilização.

A lista dos componentes incorporados é a seguinte:

- Arduino
- Servo motores para a travagem
- Sensores de efeito Hall
- Sensores de distância
- Buzzer, LEDs e Botões
- Materiais do sistema de travagem

De seguida, será apresentada uma descrição detalhada das especificações de cada componente implementado.

## 3.2 Arduino

O Arduino é uma plataforma de prototipagem eletrônica, criado por Massimo Banzi e David Cuartielles, em 2005, com objetivo de permitir o desenvolvimento e controle de sistemas interativos de baixo custo e acessível a todos.

A plataforma é composta essencialmente por duas partes: o *hardware* e o *software*. Consiste numa placa PCB de programação, baseada numa simples placa microcontroladora e um ambiente de desenvolvimento (IDE), para assim, ser possível o envio do código para placa.

Uma das vantagens do Arduino é justamente a facilidade de programação. O IDE do Arduino é gratuito e simples, contendo um editor de texto, um compilador e um monitor série.

Outra característica importante é que todo o material (*software*, bibliotecas, *hardware*) é *open-source*, ou seja, pode ser usado por todos, sem a necessidade de pagamento de *royalties* ou direitos de autor.

Falando em termos práticos, o Arduino é um pequeno computador que se pode programar para processar entradas e saídas entre o dispositivo e os componentes externos ligados a ele, interagindo com o ambiente por meio de *hardware* e *software*. Para programar o Arduino utilizamos o seu IDE, que é um *software* onde podemos escrever um código numa linguagem semelhante a C/C++ [9].

Existem vários tipos de Arduino. De acordo com a dimensão ou a potência necessária para o projeto opta-se pelo que é mais favorável. Neste caso o Arduino utilizado começou por ser o UNO, mas como o projeto atingiu dimensões consideráveis (necessidade de mais pinos de entrada e de mais opções de ligações) no final foi o Arduino Mega 2560 o escolhido.

### 3.2.1 Arduino Mega 2560

O Arduino Mega 2560, figura 3.2, é uma placa microcontroladora baseada no ATmega2560. Possui 54 pinos de entrada/saída digitais, 16 entradas analógicas, um oscilador de cristal de quartzo (*clock*) de 16 MHz, uma conexão USB, um botão de reinicialização, entre outros [10].

### 3. Componentes Utilizados

---



Figura 3.2: Arduino Mega 2560

Na tabela seguinte são apresentadas as especificações técnicas da placa Mega 2560:

|                                 |  |
|---------------------------------|--|
| Microcontrolador                | ATmega2560                                       |
| Tensão operacional              | 5 V  |
| Tensão de entrada (recomendada) | 7-12 V   |
| Tensão de entrada (limite)      | 6-20 V   |
| Pinos de I/O digitais           | 54   |
| Pinos de entrada analógicos     | 16   |
| Corrente DC por pino I/O        | 20 mA  |
| Corrente DC para Pino 3.3 V     | 50 mA  |
| Memória flash                   | 256 kB dos quais 8 kB utilizados pelo bootloader |
| SRAM                            | 8 kB   |
| EEPROM                          | 4 kB   |
| Velocidade do relógio           | 16 MHz   |
| LED BUILT IN                    | 13   |
| Comprimento                     | 101,52 mm  |
| Largura                         | 53,3 mm  |
| Peso                            | 37 g   |

Tabela 3.1: Tabela de especificações do Arduino Mega 2560.

### 3.3 Servo Motores

O servo motor é um servo-mecanismo que usa o *feedback* que lhe é enviado (a partir do IDE do Arduino) com a posição, para controlar dessa forma o braço do servo motor. Internamente, um servo motor combina um motor com um circuito de realimentação, um controlador e outros circuitos complementares.

Sendo mais preciso na definição, um servo motor é um atuador rotativo ou linear que garante o controlo, velocidade e precisão em aplicações de controlo de posição em malha fechada [11].

Neste projeto, usaram-se dois servo motores Hitec HSR-5995TG - Ultra Torque, figura 3.3, nas rodas traseiras do andarilho para fazer a atuação dos travões automáticos.



Figura 3.3: Servo motor Hitec HSR-5995TG - Ultra Torque

Na tabela seguinte encontram-se as especificações [12] do servo motor Hitec HSR-5995TG - Ultra Torque:

|                      |   |
|----------------------|---|
| Modulação            | Digital   |
| Torque               | 6.0 V: 24 kg.cm<br>7.4 V: 30 kg.cm                          |
| Velocidade Angular   | 6.0 V: 0.15 seg/60°<br>7.4 V: 0.12 seg/60°                  |
| Peso                 | 61,5 g  |
| Dimensões            | Comprimento: 39.9 mm<br>Largura: 20.1 mm<br>Altura: 38.1 mm |
| Tipo de motor        | Coreless  |
| Tipo de engrenagem   | Titânio   |
| Rotação/Suporte      | Rolamentos duplos   |
| Intervalo de rotação | 180°  |
| Ciclo de pulso       | 20 ms   |
| Comprimento do pulso | 900-2100 $\mu s$  |

Tabela 3.2: Tabela de especificações do servo motor Hitec HSR-5995TG - Ultra Torque.

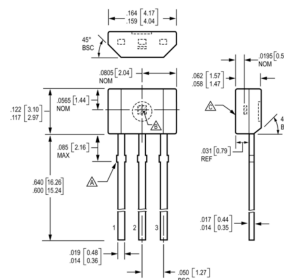
### 3.4 Sensor de efeito de Hall

Foram colocados quatro sensores de efeito de Hall Allegro A1101, figura 3.4a, dois em cada roda traseira, que juntamente com doze ímanes que rodam com a respetiva roda onde estão fixados, funcionam como um encoder rotativo para detetar a rotação das rodas, sentido e velocidade.

### 3. Componentes Utilizados



(a) Sensor de efeito Hall Allegro A1101 vista externa.



(b) Sensor de efeito Hall Allegro A1101 dimensões.

Figura 3.4: Sensor de efeito Hall Allegro A1101.

A saída destes dispositivos muda para *low* (deteta) quando um campo magnético (polaridade sul) perpendicular ao sensor de Hall excede o limite do ponto de operação, BOP. Após a ativação, a saída é capaz ir a 25 mA e a tensão de saída é  $V_{OUT}$ . Quando o campo magnético é reduzido abaixo do ponto de libertação, BRP, a saída do dispositivo fica *high* (não deteta). A diferença entre os pontos de operação e libertação magnética é a histerese, BHYS, do dispositivo [13].

| Característica (Ponto)    | Modelo | Min   | Max   | Unidades |
|---------------------------|--------|-------|-------|----------|
| Ponto de Operação - BOP   | A1101  | 0.005 | 0.016 | T        |
| Ponto de Libertação - BRP | A1101  | 0.001 | 0.013 | T        |
| Histerese - BHYS          | A1101  | 0.002 | 0.008 | T        |

Tabela 3.3: Tabela de pontos de transição do sensor de efeito de Hall Allegro A1101.

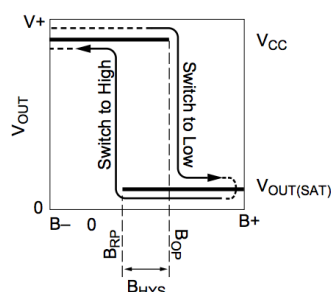


Figura 3.5: Diagrama de funcionamento do sensor de efeito Hall Allegro A1101.

Consequimos observar no eixo horizontal da figura 3.5, a direção  $B+$  indica o aumento da intensidade do campo magnético da polaridade sul e a direção  $B-$  indica a diminuição da intensidade do campo de polaridade sul.

### 3.5 Sensores de distância

Foram usadas duas gamas distintas de sensores de distância, figura 3.6, neste projeto.

Dois sensores de distância Sharp GP2Y0A41SK F 28 e quatro sensores de distância Sharp GP2Y0A21YK0F, em que apenas difere entre si a distância máxima que conseguem detectar, no caso do primeiro detecta entre 4 a 30 cm e no caso do segundo de 10 a 80 cm, como é apresentado na tabela 3.4.

No geral, o sensor de distância Sharp é um equipamento de medição de distância, composto por uma combinação integrada de PSD (detetor sensível à posição), IRED (díodo emissor infravermelho) e o circuito de processamento de sinal [14].

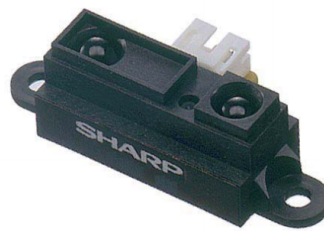


Figura 3.6: Sensor de distância Sharp.

|                                   | Sharp GP2Y0A41SK F 28 | Sharp GP2Y0A21YK0F |
|-----------------------------------|-----------------------|--------------------|
| Intervalo de medição de distância | 4 a 30 cm             | 10 a 80 cm         |
| Saída                             | Analógica             | Analógica          |
| Tamanho                           | 29,5x13x13,5 mm       | 29,5x13x13,5 mm    |
| Consumo de corrente típico        | 12 mA                 | 30 mA              |
| Tensão de alimentação             | 4,5 a 5,5 V           | 4,5 a 5,5 V        |

Tabela 3.4: Tabela de características dos sensores de distância Sharp GP2Y0A41SK F 28 e Sharp GP2Y0A21YK0F.

Através da figura 3.7, conseguimos observar a relação entre o *output* dado pelo sensor e a distância a que se encontra o objeto.

### 3. Componentes Utilizados

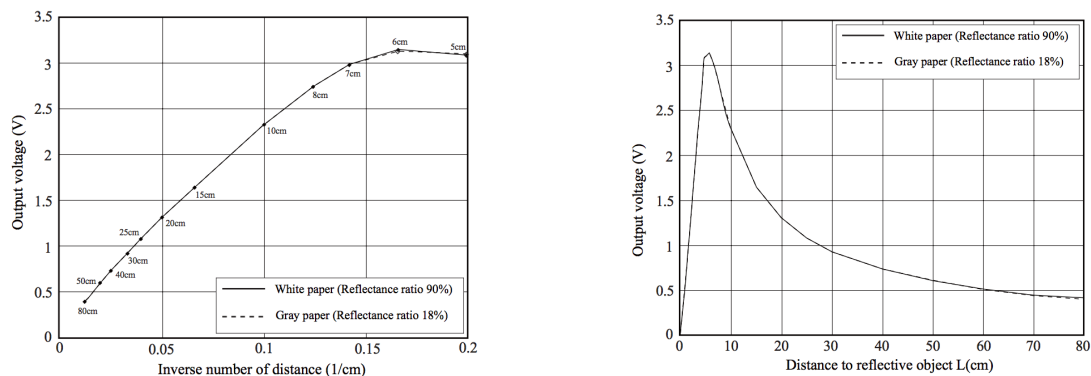


Figura 3.7: Exemplo da relação entre distância medida (cm) e o *output* obtido (V).

### 3.6 Buzzer, LEDs e Botões



Figura 3.8: Piezo Buzzer.

Neste projeto foram aplicados vários componentes de *feedback* para que o utente possa ter uma melhor experiência com um nível de imersão bastante elevado, e também para que possa interagir com o sistema.

Em primeiro lugar, foi dimensionado um alarme de aviso através da integração do dispositivo Piezo Buzzer, figura 3.8 [15].

| Especificações       | Piezo                    |
|----------------------|--------------------------|
| Voltagem Operacional | 3 a 30 V                 |
| Corrente             | 30 mA                    |
| Output a 30 cm       | $\geq 95\text{dB}$       |
| Frequência           | $3,400 \pm 500\text{Hz}$ |
| Peso                 | 4 g                      |

Tabela 3.5: Tabela de características do Piezo Buzzer.

No que diz respeito à parte visual, foram colocados 6 LEDs, figura 3.9a, que dão o *feedback* do andamento das rodas, isto é, sempre que cada sensor de efeito Hall deteta um íman um LED acende, como existem 4 sensores de efeito de Hall foram disponibilizados

4 LEDs para este processo. No caso de um obstáculo ser detetado existe um LED (laranja) que acende, muito útil caso o utente não consiga ouvir o alarme sonoro por algum motivo. Na matéria de interação do próprio utente existem dois botões, figura 3.9b, que podem ser pressionados, um no guiador no punho direito e o outro é botão de *reset* do próprio Arduino. O botão que está situado no punho direito, tem como função ativar e desativar o sistema de travagem automático e o sistema de alarme, sempre que este botão é pressionado um LED (azul) é aceso. O botão de *reset* tem como finalidade reiniciar o Arduino.



(a) LED coloridos.



(b) Botão de pressão.

Figura 3.9: Figura do LED e do Botão de pressão.

### 3.7 Materiais do sistema de travagem

Para a criação de um sistema de travagem automático totalmente feito do zero, foram utilizados vários componentes para além dos servo motores (referidos na secção 3.3). Para construir a base de suporte e de atuação para esses servos motores, foram necessários muitos outros materiais [16] [17] [18] [19] [20], os quais vão ser mencionados e apresentados sob a forma de figuras:



(a) Madeira utilizada para construir o suporte do sistema de travagem.



(b) Abraçadeira em U de Inox utilizada na fixação do suporte.



(c) Dobradiça zinco 3/4 utilizada para produzir o movimento de alavanca.

Figura 3.10: Materiais utilizados no suporte do sistema de travagem.

### 3. Componentes Utilizados

---



(a) Arame de aço usado para construir a cabo de ação.



(b) Cerra-cabos de aço usados para fixar o arame de aço.



(c) Mola usada entre o cerra-cabos e o contato da alavanca.

Figura 3.11: Materiais utilizados no suporte do sistema de travagem.

# 4

## *Hardware e Software Desenvolvidos*

## 4. Hardware e Software Desenvolvidos

---

Neste capítulo será abordado todo o processo de concepção e criação dos vários sistemas implementados no andarilho, quer a nível de *hardware* quer a nível de *software*.

### 4.1 Sistema de travagem automático

Depois da fase de revisão de literatura e seleção dos materiais necessários para o projeto, a criação do sistema de travagem automático foi a primeira coisa a ser pensada e desenvolvida. Este sistema tem como objetivo principal a travagem do andarilho sem que exista intervenção pela parte do utente.

#### 4.1.1 Hardware

Uma vez que foram escolhidos os servo motores como o equipamento principal para criar a ação de travagem neste sistema, começou-se por criar um suporte forte e robusto para acomodar esses dispositivos, já que os servo motores conseguem exercer uma força considerável.

Para simplificar as coisas, observando a figura 4.1, podemos ver o resultado final deste sistema de travagem.

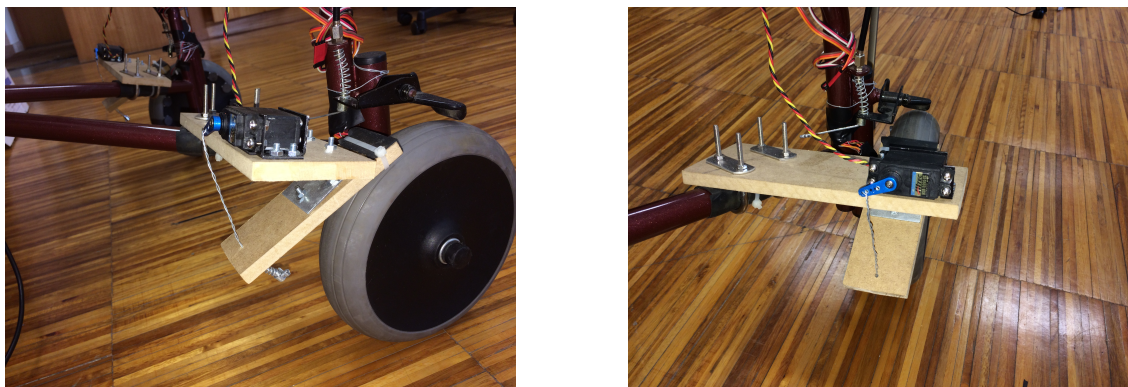


Figura 4.1: Sistema de travagem automático final.

O processo inicial passou por desenhar o suporte em madeira de forma a acomodar o servo motor sobre a roda traseira do andarilho (figura 4.2 - legenda 1). De seguida, para fixar esse suporte ao eixo do andarilho foram colocadas abraçadeiras em U (figura 4.2 - legenda 2), para uma melhor fixação e para que não exista a derrapagem do suporte, foi também colocada uma superfície de borracha entre as abraçadeiras e o eixo do andarilho. Finalizada esta parte, foi desenvolvido um mecanismo de alavanca para que fosse possível travar a roda do andarilho. Deste modo, através da ligação de uma dobradiça (figura 4.2 - legenda 4) e outra superfície de madeira (figura 4.2 - legenda 3), esta mais pequena que a do suporte, conseguiu-se criar uma alavanca que trava a roda através de contacto direto.

## 4.1 Sistema de travagem automático

Para que este mecanismo tenha um funcionamento correto, através da ligação do servo motor (figura 4.2 - legenda 6), que está montado no suporte fixo, com o uso de arame de aço foi criado um cabo de aço (figura 4.2 - legenda 5), que é movimentado através da ação do braço do servo motor, isto é, sempre que o servo motor muda de posição o cabo de aço acompanha esse movimento. Portanto, foi necessário dar um comprimento e fixar este cabo de aço, para isso foi utilizado um cerra-cabos (figura 4.2 - legenda 7) com uma mola (figura 4.2 - legenda 8) para que o cabo de aço volte sempre à posição inicial e para proteger o mecanismo do servo motor caso seja exercida força em demasia. Para que o efeito de travagem seja mais eficiente foi colocada também uma camada de borracha (figura 4.2 - legenda 9) na superfície que faz o contacto com a roda do andarilho. Os materiais utilizados na conceção deste suporte já foram descritos e encontram-se na secção 3.7.

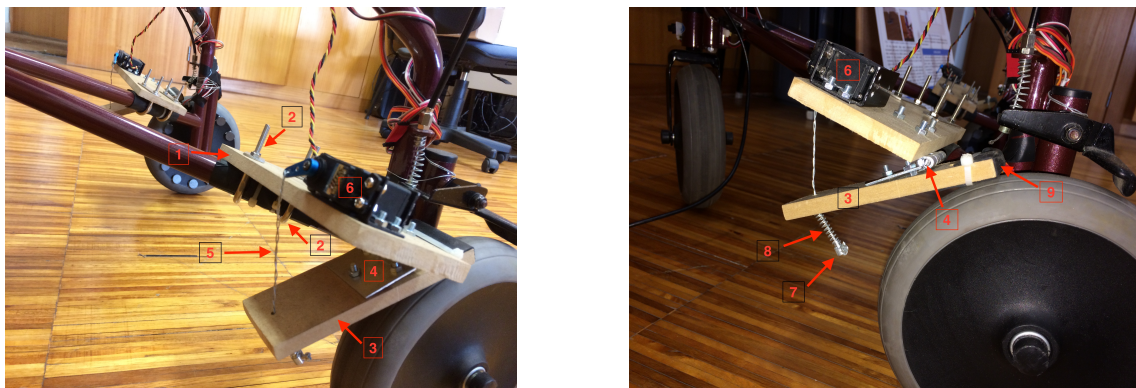


Figura 4.2: Diagrama de materiais utilizados no sistema de travagem.

Legenda da figura 4.2:

- 1 - Suporte em madeira construído para acomodar o servo motor sobre a roda traseira.
- 2 - Abraçadeira em U de INOX.
- 3 - Parte inferior em madeira que faz contacto com a roda do andarilho.
- 4 - Dobradiça de zinco de 3 furos.
- 5 - Arame enrolado que faz de cabo de aço para o sistema de travagem.
- 6 - Servo motor.
- 7 - Cerra-cabos que fixa o cabo de aço.
- 8 - Mola.
- 9 - Superfície de contacto direto com a roda, forrada com borracha.

Para entendermos melhor o funcionamento deste equipamento vamos recorrer à imagem da figura 4.3.

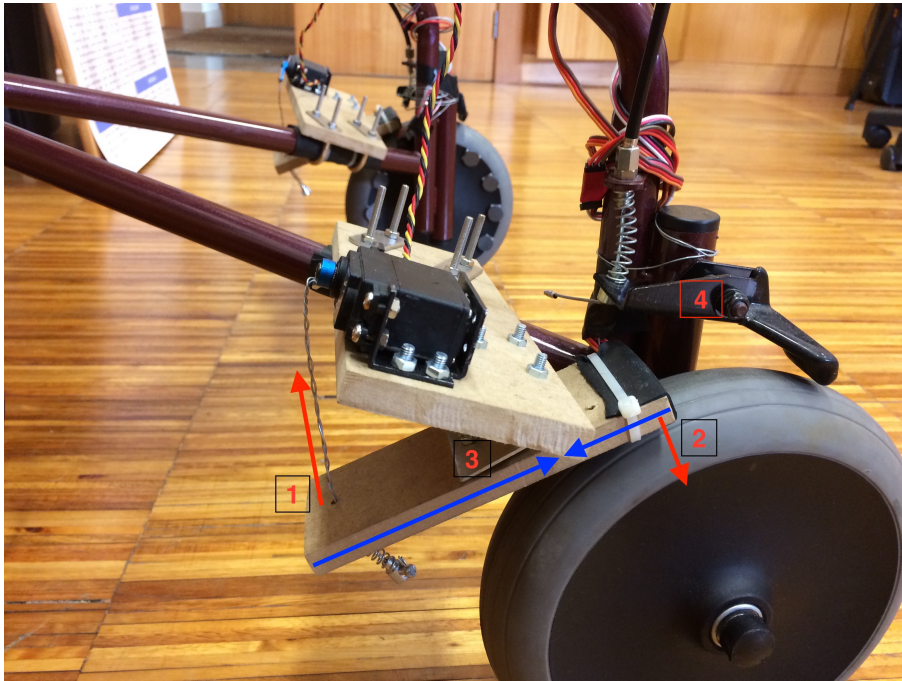


Figura 4.3: Diagrama do funcionamento do sistema de travagem.

Legenda da figura 4.3:

- 1 - Representação do sentido da força exercida pelo servo motor.
- 2 - Representação do sentido da força exercida pelo conjunto servo motor/dobradiça (efeito alavanca).
- 3 - Dobradiça.
- 4 - Sistema de travagem manual.

Observando as setas vermelhas na imagem da figura 4.3 consegue-se perceber que, se o servo motor movimentar o seu braço para cima, como demonstra a legenda 1 da figura 4.3, o efeito alavanca conseguido pela dobradiça (figura 4.3 - legenda 3) faz com que a posição oposta da superfície (que faz contacto com a roda do andarilho), aplique uma força no sentido contrário ao do servo motor, como está exemplificado na figura 4.3 - legenda 2 (o tamanho e a dimensão das setas não constituem qualquer relação com a ordem da força aplicada). E assim, é devido a essa força que a roda trava sempre que o servo motor puxa o cabo de ação. Observa-se também, através das linhas azuis na figura 4.3, que a distância da dobradiça ao cabo de ação é sensivelmente o triplo da distância da dobradiça à parte que faz contacto com a roda. Isso traduz o efeito de alavanca que foi pensado para esta aplicação, para que a força exercida no ato da travagem fosse maior, utilizando um binário menor pela parte do servo motor. No total existem quatro sistemas de travagem implementados no andarilho, dois sistemas de travagem manual como podemos observar na figura 4.3 - legenda 4 (um em cada roda traseira) que já vieram implementados no

## 4.1 Sistema de travagem automático

andarilho convencional, e dois sistemas de travagem automáticos independentes (um em cada roda traseira) desenvolvidos neste projeto.

Explicada a montagem e funcionamento do suporte do sistema de travagem, passamos agora às ligações físicas deste sistema. Este sistema, como já foi referido, depende muito do seu dispositivo principal, o servo motor. Este já foi descrito e falado na secção 3.3. Neste projeto foram utilizados dois servo motores, um em cada roda traseira, e encontram-se ligados ao Arduino como está exemplificado na figura 4.4.

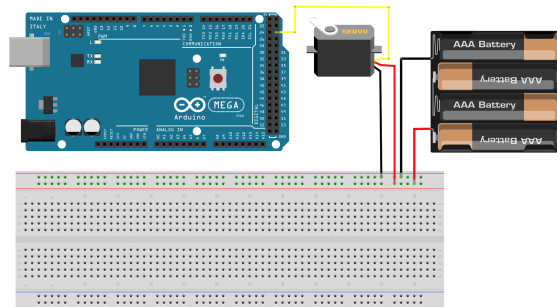


Figura 4.4: Ligação do servo motor ao arduino.

Os servo motores encontram-se ligados nos pinos digitais D24 e D25 do Arduino e possuem uma fonte externa (6 a 7 V) para um melhor funcionamento, pois com os 5 V fornecidos pelo Arduino os servo motores não funcionariam de uma forma eficiente.

### 4.1.2 Software

No que diz respeito ao *software* implementado para o funcionamento do sistema de travagem, este foi baseado na biblioteca do Arduino de controlo de servos [21]. Foi criada uma função para controlo específico da posição do braço do servo através da sua introdução em graus.

A função implementada:

```
1 /*----- Funcao SERVOS -----*/
2 // parametros de entrada, posicao do angulo de travagem (roda direita, roda ←
  esquerda)
3 void servos(int postravagemdir, int postravagemesq) {
4 // transmite a posicao do angulo definido para o servo esquerdo
5   myservoLEFT.write(postravagemesq);
6 // transmite a posicao do angulo definido para o servo direito
7   myservoRIGHT.write(postravagemdir);
8 }
9 /*-----*/
```

### 4.2 Sistema de detecção de obstáculos

O sistema de detecção de obstáculos, tal como o nome indica tem como objetivo principal detetar obstáculos à volta do andarilho e impedir que este embata contra eles. Os obstáculos podem ser paredes, portas, pessoas, escadas, varandas, degraus, etc. Este sistema tem que detetar esses mesmos obstáculos e prevenir que o utente que está a utilizar o andarilho sofra um acidente. Para isso, foram consideradas distâncias mínimas de segurança (30 cm na frente e nas laterais do andarilho, mais de 15 cm entre o utente e o andarilho e mais de 25 cm entre o andarilho e o chão) e sempre que os sensores detetarem distâncias inferiores, no caso das laterais e da frente, ou superiores, no caso da distância utente/andarilho e andarilho/chão, os travões automáticos e o sistema de alarme são ativados.

#### 4.2.1 Hardware

Como dispositivos físicos foram utilizados seis sensores de distância à volta do andarilho (estes sensores já foram descritos e especificados na secção 3.5). Foram colocados dois sensores à frente, um a apontar para o chão e outro a apontar para a frente. Dois nas laterais do andarilho a apontar para a direita e para a esquerda, e os restantes dois são os que fazem o controlo da distância entre o utente e o andarilho, pelo que foram colocados na traseira do andarilho a apontar para as pernas do utente.

Conseguimos obter uma melhor perceção observando as imagens das figuras 4.5 e 4.6.

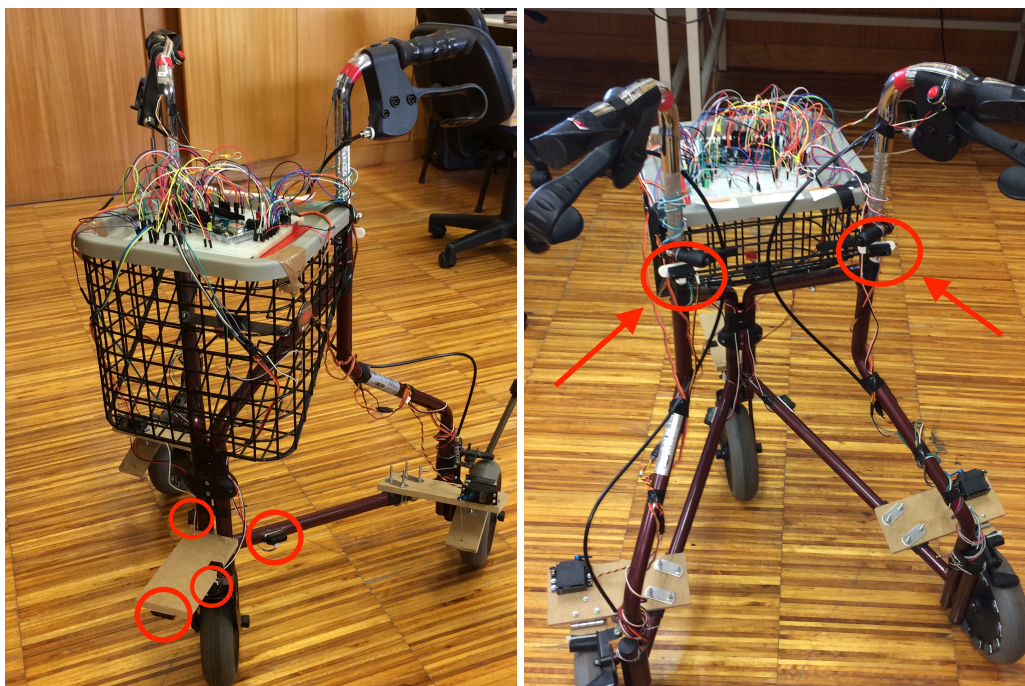


Figura 4.5: Posição dos sensores de distância - visão geral.

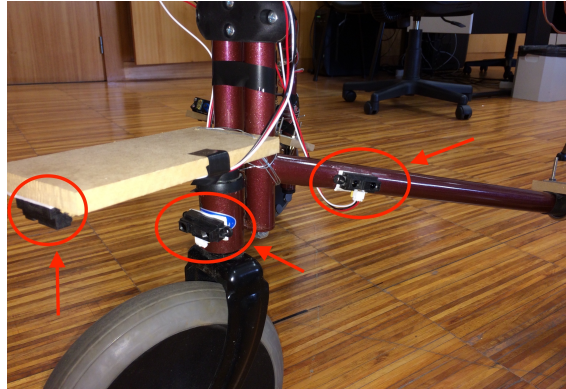


Figura 4.6: Posição dos sensores de distância frontais e laterais (o mais à esquerda aponta para o chão, o que está no meio aponta para a frente e o último é o sensor da lateral esquerda.)

O esquema de ligação dos sensores de distância encontra-se na figura 4.7, cada um dos seis sensores encontra-se ligado a uma entrada analógica do Arduino, o sensor da traseira esquerda está ligado ao pino A2, o da traseira direita ao pino A3, o da lateral direita ao pino A4, o da lateral esquerda ao pino A5, o sensor frontal está ligado ao pino A6 e o sensor que aponta para o chão está ligado ao pino A7.

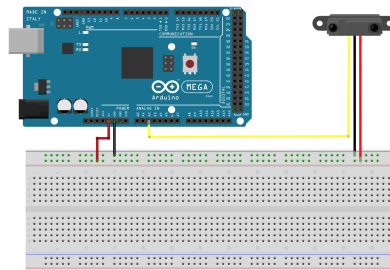


Figura 4.7: Esquema de ligação dos sensores de distância.

### 4.2.2 Software

Foi bastante complicado calibrar estes dispositivos, pois são baseados no sistema de detecção por infravermelhos pelo que variam bastante com a luminosidade do ambiente. Foram usados dois métodos de calibração e conversão (de tensão em V para distância em cm) dos valores enviados pelos sensores Sharp.

Observando então que o sensor envia um sinal analógico, é necessária a sua conversão para um valor de tensão de 0 a 5V. Para isso, foi utilizada a seguinte fórmula:

$$TensaoSensor = TensaoAnalogica \times \frac{5}{1024} \quad (4.1)$$

#### 4. Hardware e Software Desenvolvidos

---

Onde *TensaoAnalogica* é o valor lido no pino analógico do Arduino multiplicado por 5 Volts e dividido por 1024 bits (ADC de 10 bits), para gerar assim uma variável chamada *TensaoSensor* em Volts.

Sendo assim, o primeiro método utilizado foi ligar cada sensor de distância ao Arduino para que se pudesse obter o valor de tensão. Foi utilizado o seguinte código:

```
1 /*-----*/
2 int sensorValue = analogRead(pino); // guarda a leitura do pin analogico na ↵
   variavel sensorValue
3 float SensorOut = sensorValue * (5 / 1024); // Converte o valor lido ADC↵
   (0-1023) para voltagem (0 - 5V)
4 Serial.println(SensorOut); // escreve no monitor serie do Arduino o valor da ↵
   tensao
5 /*-----*/
```

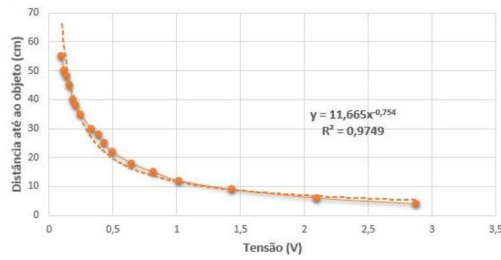
Sabendo o valor de tensão que o sensor está a medir, com o recurso a uma fita métrica foi colocado um obstáculo, paralelo ao sensor, a várias distâncias. Foi anotada a distância a que o obstáculo se encontrava e o valor da tensão que o sensor media. Desta forma, usando os valores anotados para fazer a conversão de tensão para distâncias em cm, utilizou-se um modelo de regressão não linear com recurso a uma função de potência. Logo a forma da função entre a distância e a tensão analógica do sensor é dada pela fórmula:

$$y = \beta \times x_i^a + \varepsilon_i \quad (4.2)$$

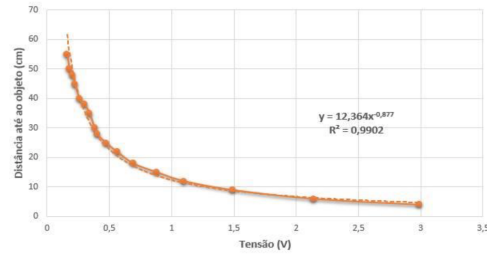
Onde  $y$  é o valor da distância obtido através do ajuste da tensão de saída do sensor a uma função de potência,  $x_i$  é o valor da tensão de saída do sensor e  $\varepsilon_i$  é o erro, ou seja, é a diferença entre o valor da amostra e o valor do modelo.

O coeficiente de correlação ( $R^2$ ) é uma medida da qualidade do ajuste a um modelo estatístico. O  $R^2$  varia entre 0 e 1, indicando, em percentagem, o quanto o modelo consegue explicar os valores observados. Quanto maior for o  $R^2$ , mais explicativo é o modelo e melhor ele se ajusta à amostra, neste caso o valor é de 97,5% para o sensor do traseiro do lado esquerdo, 99,6% para o sensor traseiro do lado direito, 96% para o sensor da lateral esquerda, 99% para o sensor da lateral direita, 98% para o sensor que aponta para a frente e 94% para o sensor que aponta para o chão, logo poderemos desprezar o erro na implementação da função no *software* [1] [5].

## 4.2 Sistema de detecção de obstáculos

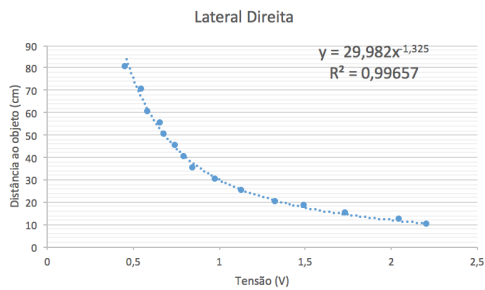


(a) Sensor traseiro esquerdo.

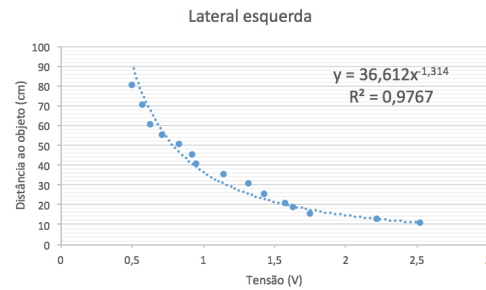


(b) Sensor traseiro direito.

Figura 4.8: Gráficos de cálculo das funções dos sensores traseiros.

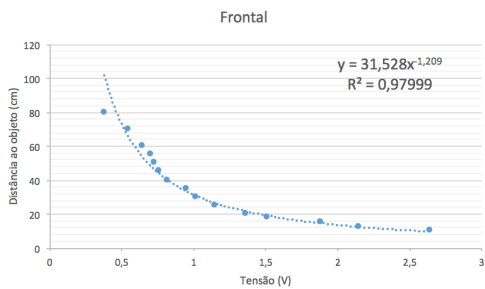


(a) Sensor lateral direito.

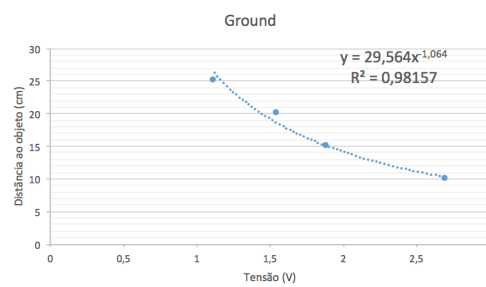


(b) Sensor lateral esquerdo.

Figura 4.9: Gráficos de cálculo das funções dos sensores laterais.



(a) Sensor que aponta para a frente.



(b) Sensor que aponta para o chão.

Figura 4.10: Gráficos de cálculo das funções dos sensores frontal e ground.

Utilizando assim o modelo de regressão não linear calculado pelos gráficos 4.8, 4.9 e 4.10, é calculada a distância entre os sensores e os obstáculos de acordo com as seguintes equações:

$$DistTraseiraEsquerda(cm) = 11,665 \times TensaoSensor^{-0,754} \quad (4.3)$$

$$DistTraseiraDireita(cm) = 12,364 \times TensaoSensor^{-0,877} \quad (4.4)$$

#### 4. Hardware e Software Desenvolvidos

---

$$DistLateralDireita(cm) = 29,982 \times TensaoSensor^{-1,325} \quad (4.5)$$

$$DistLateralEsquerda(cm) = 36,612 \times TensaoSensor^{-1,314} \quad (4.6)$$

$$DistFrontal(cm) = 31,528 \times TensaoSensor^{-1,209} \quad (4.7)$$

$$DistGround(cm) = 29,564 \times TensaoSensor^{-1,064} \quad (4.8)$$

Onde *TensaoSensor* é o valor calculado pela equação 4.1 e *DistTraseiraEsquerda(cm)*, *DistTraseiraDireita(cm)*, *DistLateralDireita(cm)*, *DistLateralEsquerda(cm)*, *DistFrontal(cm)* e *DistGround(cm)* são as distâncias em centímetros medidas nos vários sensores.

Traduzindo então estas equações para código, foram criadas funções para cada um dos sensores de distância. Temos o exemplo seguinte:

```
1  /*----- funcao do sensor de distancia perna direita -----*/
2  int GetDistance_right(int pin) { // funcao para definir a ←
    distancia do sensor da perna direita
3  // int sensorValue = analogRead(pin); // guarda a leitura do pin ←
    analogico na variavel sensorValue
4  int sensorValue=MeanFilter(pin, 30); // guarda a media calculada ←
    com 30 amostras da leitura do pin analogico do sensor
5  float SensorOut = sensorValue * (5.0 / 1024.0); // Converte o valor lido o ADC←
    (0-1023) para voltagem (0 - 5V)
6  float dist_cm = 12.364 * pow(SensorOut, -0.877); // regressao de potencia ←
    distancia
7      if(dist_cm>50) dist_cm=50; // caso a distancia for maior ←
        que 50cm devolve 50cm
8      if(dist_cm<0) dist_cm=0; // caso a distancia for menor ←
        que 0cm devolve 0cm
9  return ((int)dist_cm); // retorna a distancia em ←
    centimetros
10 }
11 /*-----*/
```

É a função criada para o sensor traseiro direito do andarilho, onde podemos observar que na leitura do valor de tensão no pino de entrada do Arduino é processada por um filtro de média, o qual é definido por esta função:

```
1  /*----- Funcao do filtro da media -----*/
2  float MeanFilter(int pin, int numSamples) { // parametros de entrada PIN de ←
    entrada do sensor e numero de amostras
3      int sum=0; // inicializacao do soma
4      for(int i=0;i<numSamples;i++){ // ciclo para fazer a soma de todas as ←
        amostras
5          sum+=analogRead(pin); // faz o soma de todas as leituras da ←
            entrada analogica pin
6      }
7      return ((int) (sum/numSamples)); // devolve a media de todas as amostras
8  }
9  /*-----*/
```

## 4.2 Sistema de detecção de obstáculos

Esta é usada para que o cálculo da distância seja mais preciso, pois em vez de fazer as contas com apenas 1 valor, são utilizadas 30 amostras de leitura e é calculada a média dessas amostras para obter assim o valor lido no pino de entrada. O tempo que demora a calcular as 30 amostras não prejudica a velocidade de detecção, pois demora cerca de 100 microssegundos (0.0001s) para ler e converter uma entrada analógica, portanto a taxa máxima de leitura é de cerca de 10 000 vezes por segundo.

De seguida é aplicada a equação descrita em 4.4, para gerar assim o valor da distância em centímetros.

O segundo método utilizado foi através do uso da função da biblioteca do Arduino, `map(value, 0, 1023, 80, 10)` [22]:

```
1 /*-----*/
2 float dist_cm = map(sensorValue, 0, 1023, 80, 10); // mapeia a voltagem ↵
   guardada no sensorValue e converte em cm entre 10 e 80cm
3 /*-----*/
```

Esta função converte o valor de tensão lido (analógico) para 0 - 5V utilizando um ADC de 10 bits (0 - 1023 bits), mapeando assim, linearmente, para valores de distância entre 10 a 80 cm.

Construindo dessa forma a função:

```
1 /*----funcao sensor de distancia lateral direito -----*/
2 int GetDistance_sright(int pin) { // funcao para definir a ↵
   distancia do sensor da lateral direita
3 //int sensorValue = analogRead(pin); // guarda a leitura do pin ↵
   analogico na variavel sensorValue
4 int sensorValue=MeanFilter(pin, 30); // guarda a media calculada ↵
   com 30 amostras da leitura do pin analogico do sensor
5 float dist_cm = map(sensorValue, 0, 1023, 80, 10); // mapeia a voltagem ↵
   guardada no sensorValue e converte em cm entre 10 e 80cm
6 if(dist_cm>=80) dist_cm=80; // caso a distancia for ↵
   maior que 80cm devolve 80cm
7 if(dist_cm<10) dist_cm=10; // caso a distancia for ↵
   menor que 10cm devolve 10cm
8 return ((int)dist_cm); // retorna a distancia em ↵
   centimetros
9 }
10 /*-----*/
```

O primeiro método explicado foi apenas utilizado nos 2 sensores de distância traseiros (4 a 50 cm), isto é, os sensores que detetam a presença do utente (distância entre o andarilho e o utente). O segundo método foi utilizado nos 4 sensores restantes (10 a 80 cm), pois obtive melhores resultados que o primeiro.

### 4.3 Sistema de detecção de movimento

O sistema de detecção de movimento tem como objetivo principal saber qual o sentido de rotação das rodas do andarilho (as duas rodas traseiras) e calcular a sua velocidade.

#### 4.3.1 Hardware

Para construir este sistema foram estudadas várias hipóteses de sensores e encoders, de entre os quais, encoders rotativos e sensores de interrupção. Foi chegada à conclusão que os sensores de efeito de Hall seriam os mais indicados para serem aplicados neste tipo de rodas. O material constituinte das rodas não era o mais indicado para a aplicação dos restantes sensores (encoders rotativos e sensores de interrupção), tornando assim os sensores de efeito de Hall a escolha mais prática e fiável.

Existem, no total, quatro sensores de efeito de Hall inseridos no andarilho (dois em cada roda traseira). Os sensores de efeito de Hall contam com um *Schmitt trigger* construído em histerese e ligado ao amplificador operacional. Quando o fluxo magnético que passa através do sensor Hall excede um valor pré-definido, a saída do dispositivo muda rapidamente da condição DESLIGADA para a uma condição LIGADA. Esta histerese embutida elimina qualquer oscilação do sinal de saída enquanto o sensor se move para dentro e fora do campo magnético. Assim, o sensor de saída digital tem apenas dois estados, LIGADO e DESLIGADO.

Existem alguns parâmetros destes sensores que são importantes para a compreensão do seu funcionamento, são eles:

BOP: Ponto de operação magnético; é o nível de campo magnético a partir do qual um dispositivo Hall liga.

BRP: Ponto de libertação magnética; é o nível de campo magnético a partir do qual um dispositivo Hall desliga.

BHYS: Histerese magnética.  $BHYS = |BOP - BRP|$ .

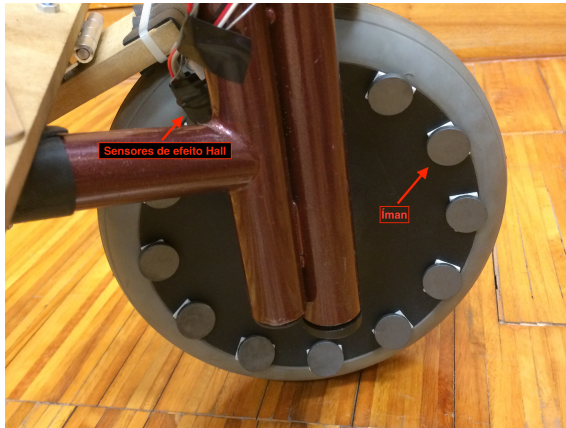
Podemos encontrar quatro tipos de sensores de efeito de Hall digitais, Unipolar, Bipolar, Omnipolar e Latch. Como neste projeto só foram usados sensores de efeito de Hall Unipolares só estes irão ser descritos.

Os sensores de efeito de Hall Unipolares são o tipo de sensores que operam na presença de um campo magnético positivo, ou seja, o sensor só irá conduzir quando o pólo sul de um íman se aproximar dele. Enquanto o íman estiver próximo do sensor, ele continuará ativo (a conduzir). A condução só é cessada quando o íman é afastado.

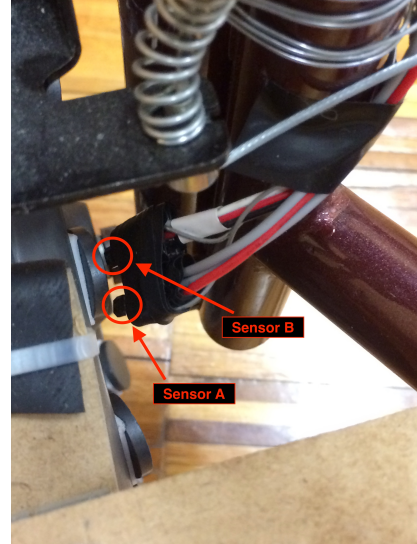
Explicado assim o funcionamento destes sensores, observando as figuras 4.11, podemos facilmente notar que foram colocados doze ímanes (figura 4.11a), em volta da roda onde se queria medir a velocidade e o sentido de rotação, e colocaram-se dois sensores

### 4.3 Sistema de detecção de movimento

de efeito de Hall, designados como sensor A e sensor B (figura 4.11b), de forma a que conseguissem fazer os estados de leitura de acordo com a tabela 4.1.



(a) Posição dos doze ímanes na roda do andarilho.



(b) Posição dos dois sensores de efeito de Hall junto da roda.

Figura 4.11: Posição dos ímanes e dos sensores de Hall na roda do andarilho.

| Leitura  | Sensor A | Sensor B |
|----------|----------|----------|
| Estado 1 | 0        | 0        |
| Estado 2 | 1        | 0        |
| Estado 3 | 1        | 1        |
| Estado 4 | 0        | 1        |

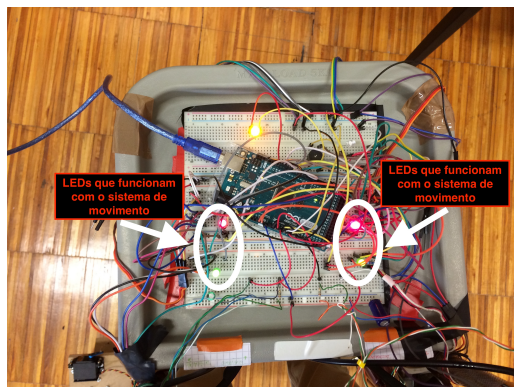
Tabela 4.1: Tabela de estados efetuados pelos sensores de Hall.

Para se ser mais exato, os sensores de efeito Hall apenas produzem a saída de 1 ou 0, isto é, quando o sensor está sem a influência de um campo magnético (não deteta nenhum dos ímanes da roda) devolve o valor de 1; caso o sensor esteja na presença de um campo magnético (deteta um dos ímanes da roda) devolve 0. Com isto, sabendo o valor lido por cada um dos sensores A e B, através da tabela de estados 4.1, conseguimos calcular o sentido e velocidade de rotação.

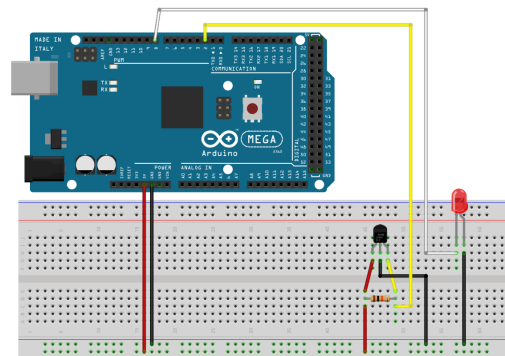
Cada sensor de efeito de Hall encontra-se ligado a uma entrada digital especial do Arduino, ou seja, esta entrada especial é uma entrada de interrupção externa. Para que possamos utilizar uma função de interrupção externa da biblioteca do Arduino necessitamos de utilizar a entrada destes pinos específicos.

## 4. Hardware e Software Desenvolvidos

Existem seis entradas de interrupção externa no arduino mega (D2, D3, D18, D19, D20, D21), do qual foram usadas apenas quatro, de acordo com o esquema de ligação da figura 4.12b.



(a) Quatro LEDs do sistema de movimento.



(b) Esquema de ligação do sensor de efeito Hall.

Figura 4.12: LEDs e esquema do Sistema de movimento.

Os sensores de efeito de Hall da roda esquerda encontram-se ligados nos pinos D2 (pino de interrupção externa) e D5, e os da roda direita encontram-se ligados aos pinos D3 (pino de interrupção externa) e D4. Como foi preciso utilizar mais que uma função de interrupção do Arduino, uma para fazer o algoritmo da velocidade e outra para o algoritmo do sentido de rotação necessitou-se, posteriormente, de fazer uma ligação adicional de um pino de interrupção, ou seja, o Vout (saída) de um dos sensores de efeito de hall de cada roda, encontra-se ligado a duas entradas de interrupção. Portanto, o Sensor A da roda esquerda encontra-se ligado ao pino D2 e D18, e o sensor A da roda direita encontra-se ligado ao pino D3 e D19. Através do esquema da figura 4.12b, vemos que também existe um LED para dar uma melhor percepção ao utente de como se está a movimentar, ou seja, cada vez que o sensor de efeito de Hall de cada roda deteta um íman o LED acende. Cada LED está associado a cada sensor de efeito Hall, portanto existem quatro LEDs (figura 4.12a) que acendem com o movimento das rodas, estes encontram-se ligados nos pinos D6, D7, D8 e D9 do Arduino.

### 4.3.2 Software

Relativamente ao *software* desenvolvido foram criados dois algoritmos, um de velocidade e outro para definir o sentido de rotação da roda. O algoritmo da velocidade encontra-se descrito pela função seguinte:

### 4.3 Sistema de detecção de movimento

```
1 /*----- variaveis globais -----*/
2 int rpm; // variavel de rotacoes por minuto
3 float veloc; // variavel de rotacoes por minuto
4 volatile byte pulsos; // variavel que guarda o numero de pulsos contados
5 unsigned long timeold; // variavel que guarda o tempo de rotacao para ↵
    actualizar as contagens
6
7 float veloc_maxima = 1; // 1000 m/h = 1 km/h - velocidade lenta de ↵
    seguranca
8
9 // Numero de pulsos por volta do sensor de Hall
10 unsigned int pulsos_por_volta = 12; // numero de imans nas rodas
11
12 /*----- Funcao para calcular os rpm e a velocidade -----*/
13 int velocidade() {
14     if (millis() - timeold >= 1000)
15     {
16         detachInterrupt(0); // Desabilita interrupcao durante o calculo
17         rpm = (pulsos*60)/pulsos_por_volta; // numero de (pulsos obtidos * 60) / ↵
            12 pulsos
18         veloc = 2*PI*0.00008*rpm*60; // velocidade = 2*PI*raio*rpm*60 (km/h)
19         timeold = millis(); // temporizador e atualizado
20         pulsos = 0; // o contador de pulsos e reiniciado a 0
21
22         Serial.print("RPM = ");
23         Serial.print(rpm, DEC);
24         Serial.print(" Velocidade (km/h) = ");
25         Serial.println(veloc);
26
27         attachInterrupt(0, contador, FALLING); // FALLING for when the pin goes ↵
            from high to low.
28     }
29 }
30 /*-----*/
```

```
1 /*-----*/
2 void contador(){ // cada vez que uma interrupcao e ativada e chamada esta ↵
    funcao
3     pulsos++; // contador
4 }
5 /*-----*/
```

Através da análise do código anterior, conseguimos ver que contando o número de interrupções através da função *attachInterrupt(pino, função, modo)* [23], que devido ao modo *FALLING* que ativa a interrupção no pino de interrupção 0, sempre que este passa de HIGH para LOW, chamando a função que tem como base um contador de pulsos (conta o número de ímanes detetados).

Sabendo isto, basta apenas calcular o número de rotações por minuto através da equação  $rpm = \frac{pulsos \times 60}{N_{\text{ímanes}}}$ , e posteriormente calcular a velocidade através da equação  $velocidade = 2 \times \pi \times raio \times rpm \times 60$ , para assim obtermos a velocidade em km/h.

Quanto ao algoritmo que define o sentido de rotação da roda, é calculado de maneira semelhante, com a pequena diferença que em vez de usar apenas um dos sensores de efeito de Hall presentes na roda, este usa os dois em simultâneo.

Vamos analisar o código para uma melhor compreensão do seu funcionamento.

## 4. Hardware e Software Desenvolvidos

```
1  /*----- variaveis globais -----*/
2  volatile bool pronto;    // variavel de interrupcao para saber se o sentido ←
   esta definido
3  volatile bool sentido;  // variavel que define o sentido, se 1 frente se 0 ←
   tras
4  const byte encoderPinA = 18; // sensor de Hall esquerda FRENTE (interrupcao ←
   5) para o sentido
5  const byte encoderPinB = 5;  // sensor de Hall esquerda TRAS
6  static long rotacao;      // variavel para contagem de rotacoes para o sentido
7
8  /*----- Funcao sentido (Hall Sensor) -----*/
9  int sentido() {
10     if (pronto == true) { // assim que o sentido estiver definido
11         if (sentido == HIGH) { // se a variavel sentido for HIGH roda esta a ←
            girar para a frente
12             Serial.println (" RODA ESQUERDA FRENTE ");
13         } else { // caso contrario (se sentido = LOW) roda gira para tras
14             Serial.println (" RODA ESQUERDA TRAS ");
15         }
16         pronto = false;
17     }
18 }
```

```
1  /*-----*/
2  void setup(){
3  attachInterrupt(digitalPinToInterrupt(encoderPinA), interrupt, CHANGE); //←
   CHANGE to trigger the interrupt whenever the pin changes value
4  }
5  /*-----*/
6  void interrupt() {
7     if (digitalRead(encoderPinA) == HIGH) { // se a leitura do sensor de hall ←
        do pinA for HIGH
8         sentido = digitalRead(encoderPinB); // entao o sentido da roda vai ser ←
        dado pelo estado do sensor pinB (1 ou 0)
9     } else { // caso contrario
10        sentido = !digitalRead(encoderPinB); // o sentido vai ser igual ao NAO ←
        estado pinB (1 ou 0)
11    }
12    pronto = true; // coloca a variavel a true para iniciar a funcao sentido()
13 }
14 /*-----*/
```

Conseguimos ver que o sentido da rotação da roda é determinado na função *interrupt()*, através do método do *attachInterrupt()* [23] vemos a introdução de um novo modo, o *CHANGE* ativa esta função sempre que o valor lido no pino de interrupção se altera. Com isto conseguimos saber sempre os quatro valores de estado que já foram referido na tabela 4.1. Embora apenas consigamos determinar o sentido de rotação quando são contados dois estados, isto é, se o estado inicial detetado pela função for *sensorA* = 1 e *sensorB* = 1, só quando passa para o estado *sensorA* = 0 e *sensorB* = 0, é que o algoritmo consegue determinar em que sentido a roda está a rodar.

Vamos analisar este funcionamento mais de perto. Quando a roda do andarilho é girada, é sempre obtido um estado em cada pino como já vimos. Portanto, sempre que movimentamos o andarilho para a frente são lidos estados numa determinada ordem, como está demonstrado na figura 4.13. O mesmo acontece quando movimentamos o andarilho para trás.

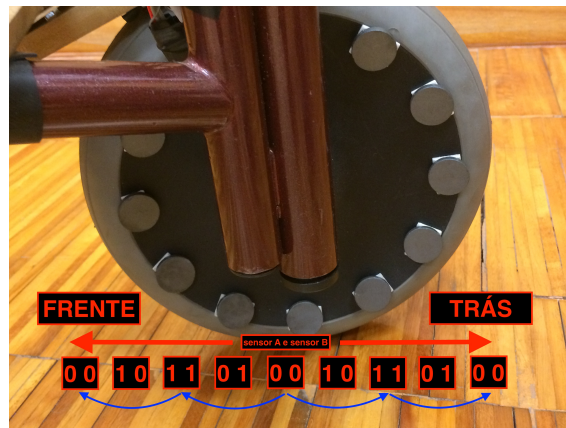


Figura 4.13: Esquema de funcionamento da detecção do sentido.

Logo, sabemos definir o sentido do movimento analisando a passagem pelos estados, ou seja, como as setas azuis na figura 4.13 indicam a análise tem que passar de dois estados iguais por dois estados diferentes e novamente por dois estados iguais para sabermos em que sentido o andarilho se movimentou.

A diferença óbvia está nos estados diferentes entre si. Se ao movimentarmos o andarilho este passar pelos estados na ordem  $10 \rightarrow 11$  ou  $01 \rightarrow 00$  está a andar para trás, se detetar os estados na ordem  $01 \rightarrow 11$  ou  $10 \rightarrow 00$  está a andar para a frente.

Relativamente ao *software* de controlo dos LEDs, para controlar os quatro LEDs associados aos quatro sensores de efeito de Hall foi criada a função seguinte:

```

1  /*----- Funcao controla os LEDS do HALL SENSOR -----*/
2  void LEDS(boolean led) {
3      // LEDS para os SENSORES HALL
4      if(led == 1){
5          if((digitalRead(SHALL_ESQ_FRENTE)==LOW)){ // Quando deteta o iman
6              digitalWrite(LEDpin_ESQ_FRENTE, HIGH); // Acende LED
7          } else {
8              digitalWrite(LEDpin_ESQ_FRENTE, LOW); // Apaga LED
9          }
10         if((digitalRead(SHALL_ESQ_TRAS)==LOW)){ // Quando deteta o iman
11             digitalWrite(LEDpin_ESQ_TRAS, HIGH); // Acende LED
12         } else {
13             digitalWrite(LEDpin_ESQ_TRAS, LOW); // Apaga LED
14         }
15         if((digitalRead(SHALL_DIR_TRAS)==LOW){ // Quando deteta o iman
16             digitalWrite(LEDpin_DIR_TRAS, HIGH); // Acende LED
17         } else {
18             digitalWrite(LEDpin_DIR_TRAS, LOW); // Apaga LED
19         }
20         if((digitalRead(SHALL_DIR_FRENTE)==LOW){ // Quando deteta o iman
21             digitalWrite(LEDpin_DIR_FRENTE, HIGH); // Acende LED
22         } else {
23             digitalWrite(LEDpin_DIR_FRENTE, LOW); // Apaga LED
24         }
25     }
26
27     if(led == 0){
28         digitalWrite(LEDpin_ESQ_FRENTE, LOW); // TODOS OS LEDS OFF
29         digitalWrite(LEDpin_ESQ_TRAS, LOW);

```

## 4. Hardware e Software Desenvolvidos

```
30     digitalWrite(LEDpin_DIR_TRAS, LOW);
31     digitalWrite(LEDpin_DIR_FRENTE, LOW);
32   }
33 }
34 /*-----*/
```

Esta função é utilizada para acender ou apagar os LEDs de acordo com a preferência do utente, de acordo com a variável booleana de entrada que ele introduz; caso de 1 os LEDs estão acesos e piscam com o movimento do andarilho, caso de 0 todos os LEDs permanecem sempre apagados.

### 4.4 Sistema de medição de força

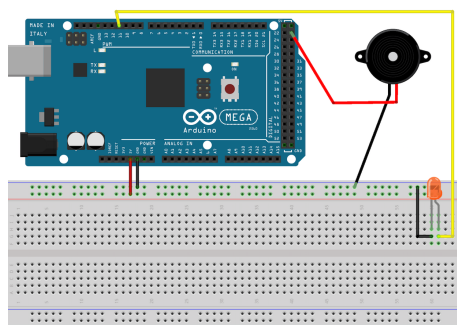
Este sistema tem como objetivo medir a força aplicada nos punhos do andarilho. Este método já se encontrava implementado e a breve explicação do seu funcionamento consta em anexo (apêndice).

### 4.5 Sistema de Alarme

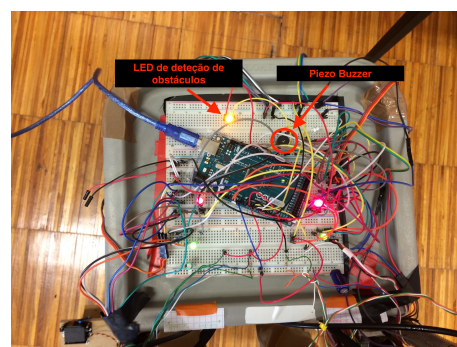
O sistema de alarme foi desenvolvido com o intuito de alertar o utente da deteção de um obstáculo, isto é, sempre que um obstáculo é detetado ou o utente se afasta demasiado do andarilho, um alarme sonoro e uma luz LED laranja são ativados.

#### 4.5.1 Hardware

Os componentes que foram utilizados neste sistema são um Piezo Buzzer e um LED laranja, que se encontram especificados na secção 3.6. O esquema de ligações foi efetuado de acordo com a seguinte figura 4.14a, e o sistema tem o aspeto apresentado na figura 4.14b.



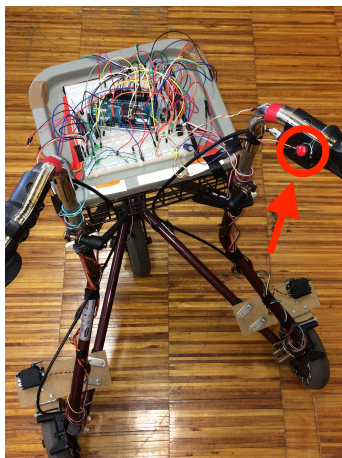
(a) Esquema de ligações do Piezo Buzzer e do LED de alarme.



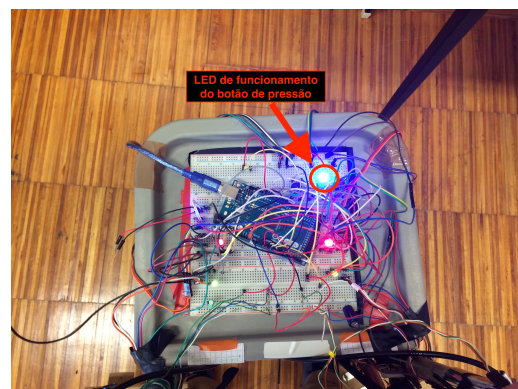
(b) Imagem do Buzzer e do LED do sistema de alarme.

Figura 4.14: Sistema de alarme do andarilho.

Também foi introduzido no sistema um botão de pressão (figura 4.15a) com um LED de funcionamento (figura 4.15b), isto é, imaginemos que o sistema de detecção de obstáculos deteta um obstáculo, imediatamente o alarme do buzzer e o LED laranja são ativados para alertar o utente, mas também o sistema de travagem automático atua, impedindo o utente de se movimentar por se encontrar na presença de um obstáculo. Assim sendo, foi introduzida uma estratégia para que o utente possa sair desse estado de travagem, carregando no botão de pressão, e sempre que o fizer, tanto o sistema de alarme como o sistema de travagem automático serão desativados.



(a) Imagem do botão de pressão no guiador direito.



(b) LED de funcionamento do botão de pressão.

Figura 4.15: Botão de pressão do andarilho.

O esquema de ligações do botão de pressão, bem como o seu LED de funcionamento estão especificados na figura 4.16.

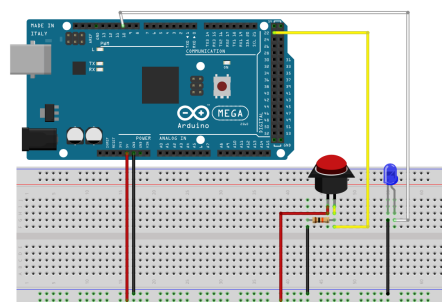


Figura 4.16: Esquema de ligações do Botão de pressão e do LED de funcionamento.

### 4.5.2 Software

Foram utilizadas dois tipos de funções, uma para lidar com o funcionamento do Buzzer e outra para o funcionamento do Botão de pressão. Função que define o funciona-

## 4. Hardware e Software Desenvolvidos

---

mento do botão de pressão e o seu LED de funcionamento:

```
1  /*----- Funcao Button -----*/
2  void Button() {
3      ButtonState = digitalRead(PushButton); // le o estado do botao
4
5      if(ButtonState == HIGH){           // se o botao for pressionado
6          digitalWrite(LEDButton, HIGH); // LED acende (AZUL)
7          digitalWrite(LEDobstaculo, LOW); // LED dos obstaculos apagado
8      }
9      else{ // caso contrario
10         digitalWrite(LEDButton, LOW); // LED do botao apagado
11     }
12 }
13 /*-----*/
```

Funções que definem o funcionamento do Buzzer:

```
1  /*----- Funcao Buzzer ON -----*/
2  void BuzzerON() { // liga o buzzer (barulho de alarme)
3      tone(BuzzerPin, 440); // utilizacao da funcao tone da biblioteca do arduino ←
4          (440Hz nota A)
5  }
6  /*----- Funcao Buzzer OFF -----*/
7  void BuzzerOFF() { // desliga o buzzer (barulho de alarme)
8      noTone(BuzzerPin); // utilizacao da funcao noTone da biblioteca do arduino
9  }
10 /*-----*/
```

O botão de pressão encontra-se ligado ao pino D22 do Arduino. Quanto ao Buzzer está ligado ao pino D23 do Arduino, e para o seu funcionamento correto recorreu-se ao uso das funções *tone(pino, frequencia)* e *noTone(pino)* da biblioteca do Arduino [24].

### 4.6 Modo de Funcionamento

Uma vez já conhecidos todos os sistemas implementados e em funcionamento no andarilho, vamos passar a uma breve descrição de como é que estes sistemas interagem entre si.

O objetivo principal está no funcionamento conjunto do sistema de deteção de obstáculos e no sistema de travagem automática. Sempre que um obstáculo for encontrado a menos de 30 cm do andarilho, pelo sistema de deteção de obstáculos (laterais e frente), este tem que ativar o sistema de travagem automático e fazer com que o andarilho pare. O mesmo acontece quando o utente se afasta da posição de segurança, isto é, caso o utente esteja apoiado no andarilho mas as suas pernas se afastem dele a uma distância superior a 15 cm. Do mesmo modo, o equipamento deteta o solo a uma distância de 25 cm, caso esta distância aumente abruptamente (definida como 5 cm) será também ativado o sistema de travagem automático, uma vez que o utente pode estar em perigo de cair numa escada ou varanda.

Para realizar tal tarefa, foram implementadas as seguintes restrições:

```

1  /*-----*/
2  // Condicao de funcionamento dos travoes automaticos
3  if(digitalRead(PushButton)==LOW){ // se o botao de pressao nao estiver a ←
   ser pressionado
4    if((DISTANCE_RIGHT>= 15 && DISTANCE_LEFT>= 15) || (DISTANCE_SLEFT<= 30) ||←
      (DISTANCE_SRIGHT<= 30) || (DISTANCE_FRONTAL<= 30) || (DISTANCE_GROUND←
        >= 30)){
5      servos(80,100); // os servos travam
6      digitalWrite(LEDobstaculo, HIGH); // LED dos obstaculos acende
7      BuzzerON(); // Buzzer toca (activado ON)
8    } else { // caso contrario
9      BuzzerOFF(); // o Buzzer nao toca (desligado OFF)
10     servos(110,80); // Posicao inicial dos servos (nao trava)
11     digitalWrite(LEDobstaculo, LOW); // LED dos obstaculos apagado
12   }
13 }
14 /*-----*/

```

No caso da interação do botão de pressão já definido na secção 4.5, deve desativar o sistema de travagem automático e o sistema de alarme para que o utente possa mudar de direção quando deteta um obstáculo.

Existe também uma restrição à velocidade máxima de andamento do andarilho, caso o utente ultrapasse uma velocidade máxima limite o sistema de travagem automático também é ativado. Esta velocidade máxima limite, por defeito, está definida como 1 km/h, mas pode ser alterada para 2 km/h caso o utente assim desejar. Para isso, basta carregar no botão de *reset* do arduino e no botão de pressão em simultâneo, para aumentar assim esta velocidade máxima limite para 2 km/h.

A seguinte condição é a que limita essa velocidade máxima:

```

1  /*-----*/
2  if(veloc >= veloc_maxima){ // limita a velocidade de andamento do andarilho ←
   (velocidade de segurança)
3    servos(80,100); // servos travam
4    BuzzerON(); // Buzzer toca (alarme)
5  }
6  /*-----*/

```

Os restantes sistemas implementados funcionam independentemente, bastando apenas chamar as funções criadas, não tendo qualquer restrição.

```

1  /*-----*/
2  void loop(){
3    LEDES(1); // LEDES dos sensores das rodas acendem (se LEDES(0) os leds ←
   ficam sempre OFF)
4    Button(); // Chama a funcao do botao de pressao
5    velocidade(); // Chama a funcao da velocidade das rodas
6    sentido(); // Chama a funcao do sentido das rodas
7
8

```

#### 4. Hardware e Software Desenvolvidos

---

```
9 // Sensores de Distancias
10 DISTANCE_LEFT=GetDistance_left(SENSOR_DISTANCE_LEFT);
11 DISTANCE_RIGHT=GetDistance_right(SENSOR_DISTANCE_RIGHT);
12 DISTANCE_SLEFT=GetDistance_sleft(SENSOR_DISTANCE_SLEFT);
13 DISTANCE_SRIGHT=GetDistance_sright(SENSOR_DISTANCE_SRIGHT);
14 DISTANCE_FRONTAL=GetDistance_frontal(SENSOR_DISTANCE_FRONTAL);
15 DISTANCE_GROUND=GetDistance_ground(SENSOR_DISTANCE_GROUND);
16
17 // Sensores de Forca
18 FORCE_LEFT=GetForce(SENSOR_FORCE_LEFT);
19 FORCE_RIGHT=GetForce(SENSOR_FORCE_RIGHT);
20 }
21 /*-----*/
```

Todos os valores de velocidade, sentido, distâncias e forças são mostradas no monitor série do Arduino, caso o utente o desejar.

# 5

## **Testes e Resultados**

## 5. Testes e Resultados

---

Nos testes ao sistema de travagem automática, em primeiro lugar foi testada a capacidade de travagem dos servo motores. Para isso, foram dadas várias posições aos servos e testado o modo de como travavam o andarilho, empurrando o mesmo, para verificar se, de facto, as rodas bloqueavam. Os resultados estão apresentados na tabela 5.1.

Legenda para o campo da intensidade de travagem da tabela 5.1, vai de 0 a 4, sendo:

0 não trava nada; 1 trava ligeiramente; 2 trava moderadamente; 3 trava bem; 4 trava muito bem;

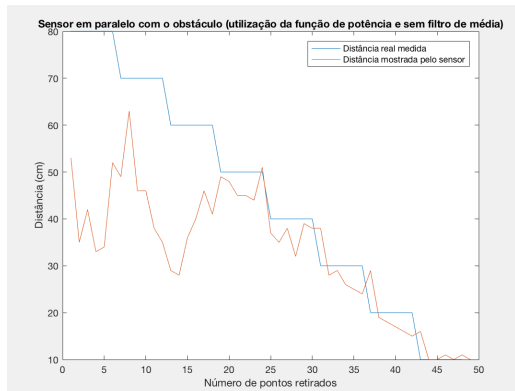
| Lado     | Rotação do braço do servo | Intensidade de travagem |
|----------|---------------------------|-------------------------|
| Direito  | 80°                       | 4                       |
|          | 90°                       | 2                       |
|          | 100°                      | 1                       |
|          | 110°                      | 0                       |
| Esquerdo | 80°                       | 0                       |
|          | 90°                       | 2                       |
|          | 100°                      | 3                       |
|          | 110°                      | 4                       |

Tabela 5.1: Resultados dos testes aos travões.

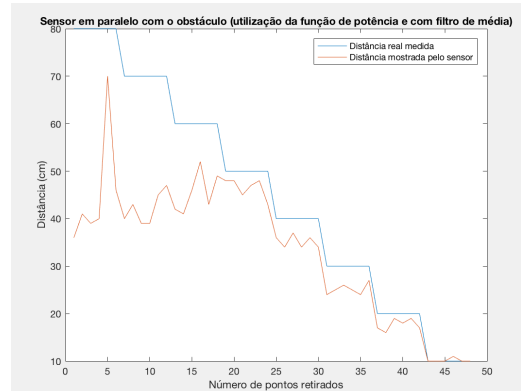
Relativamente aos testes de deteção de obstáculos, foram colocados inúmeros obstáculos ao alcance da deteção dos sensores, como cadeiras, mochilas, caixotes do lixo, paredes, pessoas, portas e escadas. O sistema de deteção foi sempre capaz de detetá-los e ativar o sistema de travagem automático e o sistema de alarme, a tempo de parar antes de embater no obstáculo.

Os gráficos 5.1, 5.2 e 5.3, contêm os resultados dos testes efetuados aos sensores de distância com a utilização dos 2 métodos usados para converter a tensão em centímetros (curva função de potência e função *map()*), com e sem utilização do filtro de média. Os testes foram efetuados com um obstáculo em paralelo ao sensor. Também foi efetuado um teste com uma inclinação do sensor a 45° relativamente ao obstáculo.

Através da análise dos resultados, conseguimos perceber o quão imprecisos estes sensores são. Todos os métodos que foram introduzidos tentaram de certa forma, suavizar os erros observados e conseguir com que o sistema de deteção de obstáculos responda da melhor maneira possível.

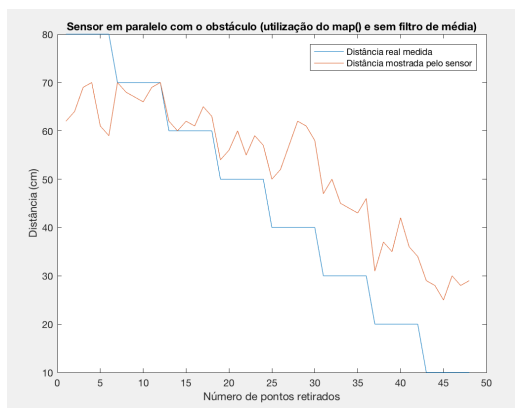


(a) Resultados com utilização da função de potência sem filtro de média

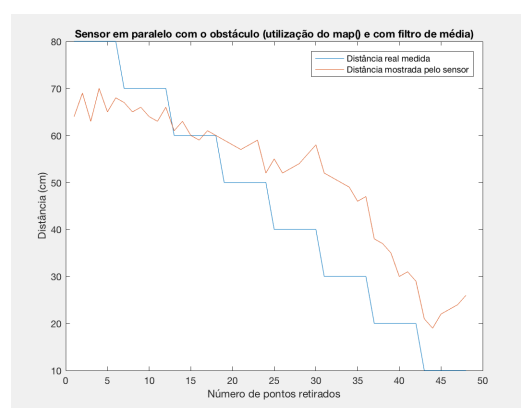


(b) Resultados com utilização da função de potência com filtro de média

Figura 5.1: Resultados com utilização da função de potência com e sem filtro de média



(a) Resultados com utilização da função map sem filtro de média



(b) Resultados com utilização da função map com filtro de média

Figura 5.2: Resultados com utilização da função map com e sem filtro de média

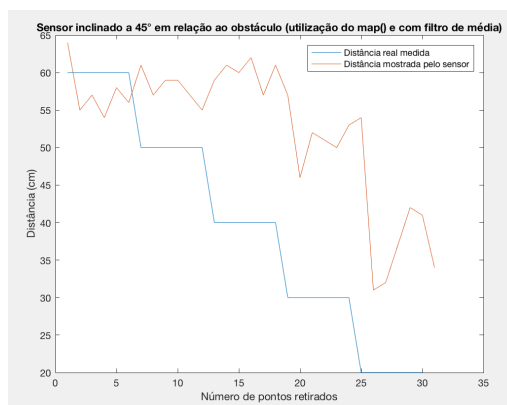


Figura 5.3: Resultados com utilização da função map com filtro de média com o sensor a uma inclinação de  $45^\circ$

## 5. Testes e Resultados

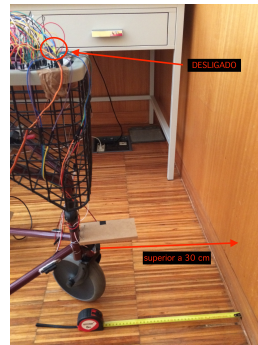
A figura 5.4 apresenta alguns exemplos de testes efetuados aos sensores de distância apresentados sob a forma de imagem, junto com o *output* que é observado no monitor série do Arduino. O nome dos sensores no monitor série do Arduino são: sensores traseiros (RIGHT e LEFT), sensores das laterais (SRIGHT e SLEFT), sensor frontal (FRONTAL) e o sensor que aponta para o chão (GROUND).



(a) Imagem do sensor frontal a detetar um obstáculo.

```
RIGHT: 13
LEFT: 14
SRIGHT: 80
SLEFT: 80
FRONTAL: 30
GROUND: 25
```

(b) Imagem dos valores mostrados quando só o sensor frontal deteta um obstáculo.



(c) Imagem do sensor frontal quando não deteta nenhum obstáculo.

```
RIGHT: 9
LEFT: 12
SRIGHT: 80
SLEFT: 80
FRONTAL: 40
GROUND: 25
```

(d) Imagem dos valores mostrados quando não deteta nenhum obstáculo.

Figura 5.4: Andarilho na presença de um obstáculo frontal e os respetivos valores mostrados no monitor série do Arduino (a, b); Andarilho na ausência de qualquer obstáculo e os respetivos valores mostrados no monitor série (c, d).

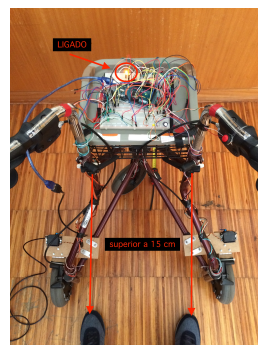
Foi também feito o teste de afastar o utente do andarilho, de forma a simular uma queda por escorregamento. Este travou sempre que a distância de segurança entre o utente e o andarilho foi quebrada e o sistema de alarme ativou sempre, figura 5.5.



(a) Imagem dos sensores traseiros quando detetam o utente (distância de segurança cumprida).

```
RIGHT: 9
LEFT: 12
SRIGHT: 80
SLEFT: 80
FRONTAL: 40
GROUND: 25
```

(b) Imagem dos valores mostrados quando os sensores traseiros detetam o utente.



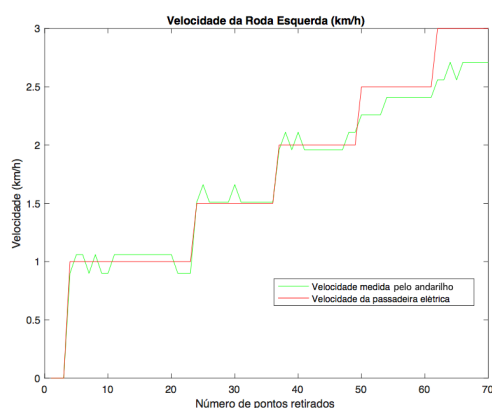
(c) Imagem dos sensores traseiros quando não detetam o utente (distância de segurança quebrada).

```
RIGHT: 50
LEFT: 50
SRIGHT: 80
SLEFT: 80
FRONTAL: 40
GROUND: 25
```

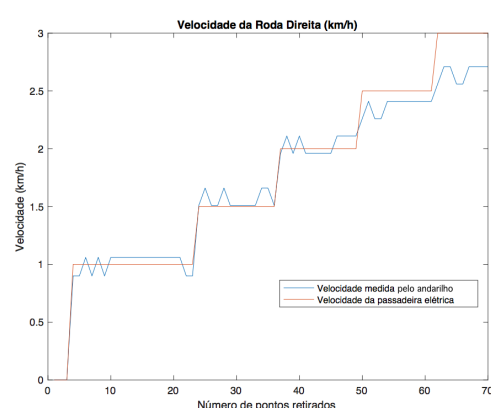
(d) Imagem dos valores mostrados quando os sensores traseiros não detetam o utente.

Figura 5.5: Andarilho quando deteta o utente e os respetivos valores mostrados no monitor série do Arduino (a, b); Andarilho quando não deteta o utente e os respetivos valores mostrados no monitor série do Arduino (c, d).

No teste de desativação dos sistemas de travagem e de alarme através do botão de pressão, os resultados foram sempre positivos, pois sempre que o botão estava pressionado, nem os travões nem o buzzer se ativavam enquanto o obstáculo estava a ser detetado. Desligando a distância de segurança entre o utente e o andarilho, foi feito o teste de empurrar o andarilho em direção à parede e este travou assim que detetou o obstáculo (a parede), não embatendo contra ele. Relativamente a testes de velocidade, para medir se realmente a velocidade em km/h que o sistema de deteção de movimento mede é preciso ou não, foram feitos testes numa passadeira eletrónica, cujos resultados se podem observar na figura 5.6.



(a) Resultados do teste da velocidade da roda esquerda.



(b) Resultados do teste da velocidade da roda direita.

Figura 5.6: Gráficos de resultados dos testes da velocidade na passadeira.

Analisando os gráficos pode chegar-se à conclusão de que os resultados são muito positivos, pois a baixas velocidades o sistema de deteção de movimento calcula de forma eficiente a velocidade, ao contrário de a velocidades superiores a 2 km/h que introduz erros na ordem de 0.5 km/h. Estes erros podem ocorrer devido à derrapagem da roda do andarilho na passadeira eletrónica, pelo que a aderência não era a mais favorável. Mas, para o tipo de aplicação e para o final deste dispositivo a gama de velocidades adequa-se perfeitamente, pois nenhuma pessoa em reabilitação vai ultrapassar o patamar de 1 km/h. Para testar se realmente a velocidade limite de segurança (1 km/h por defeito) estava a funcionar, foi efetuado o teste de correr com o andarilho enquanto se visualizava a medição da velocidade no monitor série do Arduino. Sempre que essa velocidade de segurança era ultrapassada o sistema de travagem e de alarme eram acionados.

No caso de testes ao sistema de medição da força e sentido de rotação das rodas (pertencente ao sistema de deteção de movimento), foram sempre efetuados vendo a resposta e os resultados no monitor série do Arduino. No caso do sentido de rotação sempre que

## 5. Testes e Resultados

---

se move o andarilho para a frente a mensagem *RODA ESQUERDA FRENTE* e *RODA DIREITA FRENTE* aparece sem qualquer problema. O mesmo acontece no sentido oposto, mas com as mensagens *RODA ESQUERDA TRAS* e *RODA DIREITA TRAS*. No sistema de medição de força a mensagem que aparece é *FORCA RIGHT: X* e *FORCA LEFT: X*, onde *FORCA RIGHT* é o sensor do punho direito e *FORCA LEFT* é o sensor do punho esquerdo, e o valor que aparece à frente, neste caso designado por *X* de cada uma destas mensagens, é o valor da força exercida nos respectivos sensores em libras.

Todos os testes efetuados foram feitos por pessoas sem deficiência motora, infelizmente não houve oportunidade de testar este equipamento com pessoas que realmente necessitassem dele.

# 6

## **Conclusões e Trabalho Futuro**

## 6. Conclusões e Trabalho Futuro

---

Ao escolher este projeto como dissertação de mestrado, o objetivo central foi sempre fazer o melhor de forma a ajudar as pessoas que necessitem deste equipamento (andarilho) para se deslocar e realizar as suas atividades diárias.

Numa fase inicial, foi bastante complicado perceber quais deveriam ser os primeiros passos a dar, por forma a evoluir na conceção de um equipamento melhor, e que de facto, trouxesse algo de útil para essas pessoas. Porém, todos os conselhos ouvidos e todas as pesquisas efetuadas deram frutos. Foi graças a toda essa informação e trabalho, que no final levou a que este magnífico projeto ficasse concluído.

De facto, utilizar um sistema de desenvolvimento como o Arduino é um aspeto bastante positivo, pois além da sua simplicidade, baixo custo e versatilidade, é utilizado em muitas soluções distintas e foi, sem dúvida, o grande "cérebro" deste projeto.

Relativamente ao sistema de travagem automática, no início foi complicado concretizar a sua criação. Foi de longe o mais trabalhoso mas certamente o que deu menos problemas, visto que todos os testes deram os resultados esperados. Pelo contrário, o sistema de deteção de obstáculos, foi o menos trabalhoso a nível de montagem, contudo foi o que deu mais conflitos devido à natureza dos sensores de distância que causaram alguns problemas de precisão. Apesar disso, no final, depois de várias horas de calibração e de ajustes, tudo correu como esperado.

O sistema de movimento desenvolvido para controlar a velocidade e o sentido da marcha, usando sensores de efeito Hall convertendo-o assim num funcionamento de um encoder rotacional, foi um enorme sucesso a nível de projeto.

Para colmatar, todos os sistemas criados e implementados neste equipamento de reabilitação motora, trazem uma mais valia e um enorme benefício ao utente, e por isso é uma enorme satisfação saber que todos os objetivos foram cumpridos. De um modo geral, na minha perspetiva, o projeto foi bem conseguido e cumpre os requisitos exigidos.

## **6.1 Trabalho Futuro**

Para trabalho futuro é relevante considerar:

- Criação de um sistema de aviso externo, isto é, em caso de acidente o sistema enviar uma mensagem por email e/ou sms, ao cuidador do utente de reabilitação para o alertar que houve um acidente;
- Aplicar sensores de força no sistema de travagem automático, para se obter um *feedback* relativamente à força de travagem aplicada na roda;
- Desenvolver um sistema de travagem ABS para o andarilho;
- Aplicar um sensor ótico a apontar para o chão para que, desta forma, se consiga perceber se o andarilho se continua a deslocar no caso de as rodas derraparem enquanto estão bloqueadas;
- Adaptar sensores de inclinação ao andarilho para posteriormente funcionar em conjunto com o sistema de ABS, por exemplo, para o caso de o utente descer uma rua com uma inclinação muito acentuada, ou até mesmo saber se ocorreu uma queda;
- Utilizar um sistema para controlar o movimento do utente, imaginemos que o cuidador do utente não quer que ele saia de uma determinada zona, poderia por GPS controlar os seus movimentos. Assim caso o utente saia da zona de segurança é emitido um alerta ao seu cuidador;
- Otimizar o nível de apresentação/apelo visual exterior do equipamento. Neste momento, como foi finalizada a primeira fase de desenvolvimento do projeto não foi tido em conta o aspeto visual exterior, sendo assim gostaria de propor melhorias nesse sentido;
- Desenvolver uma interface gráfica (ANDROID, IOS) apelativa para o utente ou para o profissional que esteja a trabalhar com a pessoa em reabilitação;
- Implementar luzes de presença e iluminação noturna no andarilho também trariam algumas vantagens;
- Por último, substituir os sensores de distância por uns mais precisos, como por exemplo, sensores laser; ou tentar resolver os problemas de imprecisão e de ruído existentes, calibrando novamente os sensores implementados;

## **6. Conclusões e Trabalho Futuro**

---

# Referências

- [1] R. P. Adriana and G. S. Miguel Filipe, “Andarilho de reabilitação – ANDROID,” Sep. 2016.
- [2] J. F. B. Barreira, “Detecção das pernas e controlo do andarilho recorrendo a um sensor laser range finder,” Master’s thesis, Universidade do Minho, Oct. 2014.
- [3] L. F. B. da Silva, “Projeto, desenvolvimento e implementação de um “guiador” num andarilho motorizado,” Master’s thesis, Universidade do Minho, Oct. 2012.
- [4] A. C. A. F. Ferreira, “A influência da idade nos parâmetros metabólicos durante a marcha com andarilho,” 2013.
- [5] C. Barbosa and I. Brandão, “Andarilho,” 2014.
- [6] “Smart walker: A tool for promoting mobility in elderly,” 2010.
- [7] R. C. J. L. P. A. A. R. R. A. Frizera, “The smart walkers as geriatric assistive device. the symbiosis purpose,” 2008.
- [8] T. B. A. F. R. C. C. Valadão, “Towards a smart walker controller for physiotherapy and rehabilitation purposes,” 2014.
- [9] (2017) What is arduino? [Online]. Available: <https://www.arduino.cc/en/Guide/Introduction>
- [10] (2017) Arduino mega 2560 rev3. [Online]. Available: <https://store.arduino.cc/arduino-mega-2560-rev3>
- [11] (2017) Servo motor: Veja como funciona e quais os tipos. [Online]. Available: <https://www.citisystems.com.br/servo-motor/>
- [12] (2017) Hitec hsr-5995tg - ultra torque robot servo. [Online]. Available: <https://servodatabase.com/servo/hitec/hsr-5995tg>

## Referências

---

- [13] (2017) Continuous-time switch family a1101, a1102, a1103, a1104, and a1106. [Online]. Available: <http://www.sycelectronica.com.ar/semicondutores/A110X.pdf>
- [14] (2017) Distance measuring sensor unit measuring distance: 10 to 80 cm. [Online]. Available: <http://www.farnell.com/datasheets/1657845.pdf>
- [15] (2017) Piezo buzzer. [Online]. Available: <http://www.farnell.com/datasheets/1662133.pdf>
- [16] (2017) Ripa aplainada 21x21x2400 mm. [Online]. Available: <http://www.leroymerlin.pt/Site/Produtos/Madeiras/Ripas/Aplainadas/14125601.aspx>
- [17] (2017) Abraçadeira u aço inox 4x28mm. [Online]. Available: <http://www.leroymerlin.pt/Site/Produtos/Ferragens/Ferragens-de-fixacao/Cordas/18607092.aspx>
- [18] (2017) 2 dobradiças largas zincado 25x140mm. [Online]. Available: <http://www.leroymerlin.pt/Site/Produtos/Ferragens/Ferragens-para-moveis/Dobradicas-de-movel/14939505.aspx>
- [19] (2017) 6 cerra-cabos aço 1.5/1.8mm. [Online]. Available: <http://www.leroymerlin.pt/Site/Produtos/Ferragens/Ferragens-de-fixacao/Cordas/18607344.aspx>
- [20] (2017) Mola de pressão 1.8x100mm. [Online]. Available: <http://www.leroymerlin.pt/Site/Produtos/Ferragens/Ferragens-de-fixacao/Molas/18613420.aspx>
- [21] (2017) Servo library. [Online]. Available: <https://www.arduino.cc/en/Reference/Servo>
- [22] (2017) map(value, fromlow, fromhigh, tolow, tohigh). [Online]. Available: <https://www.arduino.cc/en/Reference/Map>
- [23] (2017) attachinterrupt(). [Online]. Available: <https://www.arduino.cc/en/Reference/AttachInterrupt>
- [24] (2017) tone(). [Online]. Available: <https://www.arduino.cc/en/Reference/Tone>

# 7

## **Apêndice**

# Sistema de medição de força

## Sensores de Força

Neste projeto foram utilizados dois sensores de força FlexyForce para medir a força que o utente faz em cada punho do andarilho.

Os FlexyForce são sensores de força que utilizam uma tecnologia resistiva. Através da pressão, ou seja, se aplicarmos um determinada força na área ativa do sensor (círculo de 9,525 mm de diâmetro, que se encontra na extremidade do sensor) este vai alterar o valor da resistência lido, esta alteração é inversamente proporcional à força aplicada.

Estes sensores são resistentes a qualquer ambiente e a força é medida entre quase todas as superfícies a que são aplicados. Os sensores são extremamente manejáveis e muito finos, figura 7.1, podendo ser utilizados e adaptados às mais variáveis aplicações.

Os sensores são constituídos por duas camadas de substrato. O substrato é composto por uma película de poliéster (ou poliamida no caso de sensores de temperatura elevada).

Em cada camada é aplicado um material condutor (prata), seguido de uma camada de tinta sensível à pressão. O círculo de prata em cima da tinta sensível à pressão define a área de sensibilidade ativa. A prata estende-se desde a área de sensibilidade até aos conetores na outra extremidade do sensor, formando os fios condutores [1].

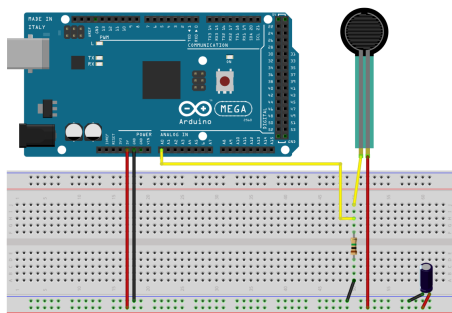


Figura 7.1: Sensor de Força FlexyForce.

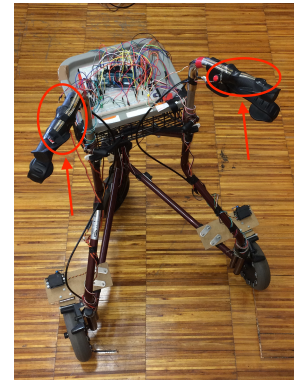
## *Hardware*

Para determinar a força nos punhos do andarilho este sistema utiliza dois sensores de medição de força FlexiForce (um em cada punho do guiador), figura 7.2b.

A ligação com o Arduino é feita como está demonstrado na figura 7.2a, onde o sensor de força do punho direito se encontra ligado no pino A0 e o sensor de força esquerdo se encontra ligado no pino A1.



(a) Esquema de ligação dos sensores de força.



(b) Imagem dos sensores de força nos punhos do andarilho.

Figura 7.2: Sensores de força do andarilho.

Partindo do princípio que a tensão de alimentação é de 5V, sabemos também o valor de tensão de saída lido no pino A0 e A1 e o valor da resistência é de  $1M\Omega$ , com o recurso a um divisor de tensão, podemos calcular a resistência do sensor, utilizando a fórmula 7.1 [1].

$$ResistenciaSensor = \frac{ResistenciaFixa \times (Vtotal - Vout)}{Vout} \quad (7.1)$$

Sabendo que o  $Vtotal$  é o valor de tensão de alimentação e o  $Vout$  é o valor de tensão de saída, podemos afirmar que conhecemos a resistência, portanto é necessário a determinação da condutância. Recorrendo a gráficos presentes no datasheet dos sensores observamos que, a relação entre a força e a condutância se traduz numa variação linear, ao contrário do que se verifica entre a força e a resistência, como mostram os gráficos da figura 7.3 [1].

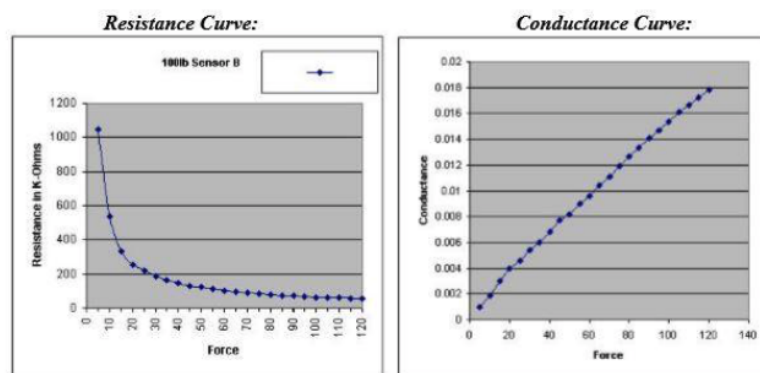


Figura 7.3: Relação entre a força e a resistência à esquerda e Relação entre a força e a condutância à direita.

## 7. Apêndice

---

Portanto, a condutância pode ser determinada com a equação 7.2 [1].

$$\text{CondutanciaSensor} = \frac{\text{ResistenciaFixa}}{\text{ResistenciaSensor}} \quad (7.2)$$

Onde a *ResistenciaSensor* foi calculada pela equação 7.1. E finalmente, para obtermos o valor da força recorreremos ao valor da curva de condutância do gráfico, onde podemos determinar a equação 7.3 [1].

$$\text{Forca}(lbs) = \frac{\text{CondutanciaSensor} - 0,0012}{0,00014} \quad (7.3)$$

Onde *Forca(lbs)* é a força obtida em libras (lbs) e a *CondutanciaSensor* é a condutância calculada na equação 7.2 [1].

### Software

O *software* implementado para o funcionamento destes sensores está agrupado na função seguinte:

```
1 int GetForce(int pin) {
2   int SensorReading;      // Variavel para guardar a leitura em int do canal ←
   analogico
3   double SensorVoltage;   // Variavel para guardar o valor da voltagem do sensor
4   double SensorResistance; // Variavel para guardar o valor da resistencia do ←
   sensor
5   double SensorConductance; // Variavel para guardar o valor da condutancia do ←
   sensor
6   double ForceLbs;       // Variavel para guardar o valor da força lida pelo ←
   sensor
7   double ForcePercent;
8
9   SensorReading = MeanFilter(pin, 5); // recebe o valor calculado atraves do filtro ←
   de media com 5 amostras
10  SensorVoltage = int(map(SensorReading,0,1023,0,5000)); // Passa o valor lido para ←
   tensao (mV).
11
12  if (SensorVoltage < 0.0001) { // caso o valor de voltagem lido seja inferior a ←
   0.0001 mV
13    ForceLbs=0; // Forca e devolvida como 0.
14  }
15  else { // caso contrario
16    // Calcula a resistencia do sensor
17    // Rsensor = (Rfixed*(Vtotal-Vout))/Vout
18    SensorResistance = (1000000*(5000-SensorVoltage))/SensorVoltage;
19
20    // Calcula a condutancia do sensor
21    // C = 1/R(ohms)=1000000/R(mohms)
22    SensorConductance = 1000000/SensorResistance;
23
24    // Calcula a força em lbs.
25    ForceLbs = (SensorConductance - 0.0012)/0.00014;
```

```

26 // Aplicacao do modelo de regressao linear para obter o valor da forca
27 // ForceLbs = 5.3157*SensorConductance;
28 }
29 // retorna o valor da forca
30 return ((int)((ForceLbs*100)/50000));
31 }

```

Toda a função traduz a explicação que foi dada para linguagem de programação.

## Código Desenvolvido

Aqui se apresenta todo o código desenvolvido no Arduino IDE baseado em C/C++, devidamente estruturado e comentado.

```

1
2 #include <Servo.h> // incluir a biblioteca para os servos motores
3 /*----- Definições Globais/Iniciais -----*/
4 #define SENSOR_FORCE_RIGHT 0 // Pin analogico de entrada sensor de forca ←
5 // direito
6 #define SENSOR_FORCE_LEFT 1 // Pin analogico de entrada sensor de forca ←
7 // esquerdo
8 #define SENSOR_DISTANCE_LEFT 2 // Pin analogico de entrada sensor de distancia ←
9 // perna esquerda
10 #define SENSOR_DISTANCE_RIGHT 3 // Pin analogico de entrada sensor de distancia ←
11 // perna direita
12 #define SENSOR_DISTANCE_SRIGHT 4 // Pin analogico de entrada sensor de distancia ←
13 // LATERAL direita
14 #define SENSOR_DISTANCE_SLEFT 5 // Pin analogico de entrada sensor de distancia ←
15 // LATERAL esquerda
16 #define SENSOR_DISTANCE_FRONTAL 6 // Pin analogico de entrada sensor de distancia ←
17 // FRONTAL
18 #define SENSOR_DISTANCE_GROUND 7 // Pin analogico de entrada sensor de distancia ←
19 // CHAO
20
21 int DISTANCE_LEFT; // sensor de distancia perna esquerda
22 int DISTANCE_RIGHT; // sensor de distancia perna direita
23 int DISTANCE_SLEFT; // sensor de distancia lateral esquerda
24 int DISTANCE_SRIGHT; // sensor de distancia lateral direita
25 int DISTANCE_FRONTAL; // sensor de distancia frontal
26 int DISTANCE_GROUND; // sensor de distancia que aponta para o chao
27
28 int FORCE_LEFT; // sensor de forca punho esquerdo
29 int FORCE_RIGHT; // sensor de forca punho direito
30
31 // LEDS e HALL SENSOR ENCODERS
32 const int LEDPin_ESQ_FRENTE = 8; // LED sensor de Hall roda esquerda frente
33 const int LEDPin_ESQ_TRAS = 7; // LED sensor de Hall roda esquerda tras
34 const int LEDPin_DIR_TRAS = 6; // LED sensor de Hall roda direita tras
35 const int LEDPin_DIR_FRENTE = 9; // LED sensor de Hall roda direita frente
36 const int SHALL_ESQ_FRENTE = 2; // sensor de Hall esquerda FRENTE (frente LED ←
37 // VERMELHO)
38 const int SHALL_ESQ_TRAS = 5; // sensor de Hall esquerda TRAS (tras LED VERDE)
39 const int SHALL_DIR_TRAS = 4; // sensor de Hall direita TRAS (tras LED VERDE)
40 const int SHALL_DIR_FRENTE = 3; // sensor de Hall direita FRENTE (frente LED ←
41 // VERMELHO)
42
43 const int LEDobstaculo = 11; // LED que acende se detectar obstaculos
44
45 /*----- VARIAVEIS VELOCIDADE -----*/
46 // Roda esquerda
47 int rpm_esq; // variavel de rotações por minuto da roda esquerda

```

## 7. Apêndice

```
38 float veloc_esq;           // variavel de velocidade (km/h) da roda esquerda
39 volatile byte pulsos_esq;  // variavel que guarda o numero de pulsos contados na
    roda esquerda
40 unsigned long timeold_esq; // variavel que guarda o tempo de rotacao para
    actualizar as contagens da roda esquerda
41
42 // Roda direita
43 int rpm_dir;               // variavel de rotações por minuto da roda esquerda
44 float veloc_dir;          // variavel de rotações por minuto da roda esquerda
45 volatile byte pulsos_dir; // variavel que guarda o numero de pulsos contados na
    roda direita
46 unsigned long timeold_dir; // variavel que guarda o tempo de rotacao para
    actualizar as contagens da roda direita
47
48 float veloc_maxima = 1;    // 1000 m/h = 1 km/h – velocidade lenta de seguranca
49
50 // Numero de pulsos por volta do sensor de Hall
51 unsigned int pulsos_por_volta = 12; // numero de imans nas rodas
52
53 /*----- VARIAVEIS SENTIDO -----*/
54 volatile bool pronto_esq;  // variavel de interrupção para saber se o sentido
    esta definido
55 volatile bool sentido_esq; // variavel que define o sentido da roda esquerda, se
    1 frente se 0 tras
56 volatile bool pronto_dir; // variavel de interrupção para saber se o sentido
    esta definido
57 volatile bool sentido_dir; // variavel que define o sentido da roda direita, se
    1 frente se 0 tras
58 const byte encoderPinA = 18; // sensor de Hall esquerda FRENTE (interrupção 5)
    para o sentido
59 const byte encoderPinB = 5;  // sensor de Hall esquerda TRAS
60 const byte encoderPinC = 19; // sensor de Hall direita FRENTE (interrupção 4)
    para o sentido
61 const byte encoderPinD = 4;  // sensor de Hall direita TRAS
62 static long rotacao_esq;     // variavel para contagem de rotações para o sentido
    (24 pulsos) roda esquerda
63 static long rotacao_dir;     // variavel para contagem de rotações para o sentido
    (24 pulsos) roda direita
64
65 /*----- SERVOS -----*/
66 Servo myservoRIGHT; // cria o objecto do servo motor direito
67 Servo myservoLEFT;  // cria o objecto do servo motor esquerdo
68
69 /*----- BOTAO DE PRESSAO -----*/
70 const int PushButton = 22; // define o PIN de entrada do botao de pressao (22)
71 const int LEDButton = 10;  // define o PIN de entrada do LED do botao (10)
72 int ButtonState = 0;       // Inicializa o estado do botço
73
74 /*----- BUZZER -----*/
75 int BuzzerPin = 23; // define o PIN de entrada do Buzzer (23)
76
77 /**----- MAIN SETUP -----*/
78 void setup() {
79     Serial.begin(9600);
80
81     // Define o pin de entrada dos servos
82     myservoRIGHT.attach(25);
83     myservoLEFT.attach(24);
84
85     // Define o valor (entrada ou saida) do button e do LED
86     pinMode(PushButton, INPUT);
87     pinMode(LEDButton, OUTPUT);
88
89     // Define o pin do Buzzer como saida
90     pinMode(BuzzerPin, OUTPUT);
91
92     // Define os PINs dos LEDs dos HALL SENSORS como saidas
93     pinMode(LEDPin_ESQ_FRENTE, OUTPUT);
94     pinMode(LEDPin_ESQ_TRAS, OUTPUT);
95     pinMode(LEDPin_DIR_TRAS, OUTPUT);
```

```

96 pinMode(LEDpin_DIR_FRENTE, OUTPUT);
97
98 pinMode(LEDobstaculo, OUTPUT); // define a porta do LED que acende quando detecta ←
    obstaculos como saída
99
100 // velocidade, define os PINs dos HALL SENSORS como entradas
101 pinMode(SHALL_ESQ_FRENTE, INPUT_PULLUP); // Interrupcao 0 – pino digital 2 ←
    ESQUERDA FRENTE
102 pinMode(SHALL_DIR_FRENTE, INPUT_PULLUP); // Interrupcao 1 – pino digital 3 ←
    DIREITA FRENTE
103 pinMode(SHALL_ESQ_TRAS, INPUT); // Entradas normais (sem interrupção) ←
    ESQUERDA TRAS
104 pinMode(SHALL_DIR_TRAS, INPUT); // Entradas normais (sem interrupção) ←
    DIREITA TRAS
105
106 //Aciona o contador a cada pulso
107 attachInterrupt(digitalPinToInterrupt (SHALL_ESQ_FRENTE), contador_esq, FALLING);←
    // interrupt 0 FALLING for when the pin goes from high to low.
108 attachInterrupt(digitalPinToInterrupt (SHALL_DIR_FRENTE), contador_dir, FALLING);←
    // interrupt 1 FALLING for when the pin goes from high to low.
109 pulsos_esq = 0; // inicializa o numero de pulsos contados da roda esquerda a 0
110 pulsos_dir = 0; // inicializa o numero de pulsos contados da roda direita a 0
111 rpm_esq = 0; // inicializa o numero de rotações por minuto a 0 da roda ←
    esquerda
112 rpm_dir = 0; // inicializa o numero de rotações por minuto a 0 da roda ←
    direita
113 timeold_esq = 0; // inicializa o tempo de rotação da roda esquerda a 0
114 timeold_dir = 0; // inicializa o tempo de rotação da roda direita a 0
115
116
117 // SENTIDO
118 rotacao_esq = 0; // inicializa a 0 a contagem de rotações para o sentido (24 ←
    pulsos) roda esquerda
119 rotacao_dir = 0; // inicializa a 0 a contagem de rotações para o sentido (24 ←
    pulsos) roda direita
120
121 // Sentido, define os PINs dos HALL SENSORS como entradas
122 pinMode (encoderPinA, INPUT_PULLUP); // Interrupcao 5 – pino digital 18 ←
    ESQUERDA FRENTE
123 pinMode (encoderPinB, INPUT_PULLUP);
124 pinMode (encoderPinC, INPUT_PULLUP); // Interrupcao 4 – pino digital 19 ←
    DIREITA FRENTE
125 pinMode (encoderPinD, INPUT_PULLUP);
126 attachInterrupt (digitalPinToInterrupt (encoderPinA), interrupt_esq, CHANGE); // ←
    interrupt 5 CHANGE to trigger the interrupt whenever the pin changes value
127 attachInterrupt (digitalPinToInterrupt (encoderPinC), interrupt_dir, CHANGE); // ←
    interrupt 4 CHANGE to trigger the interrupt whenever the pin changes value
128
129 // le botao no arranque para atribuir velocidade maxima
130 ButtonState = digitalRead(PushButton); // verifica o estado do botao quando ←
    inicia
131
132 if(ButtonState == HIGH){ // botao carregado, passa a velocidade rapida
133     veloc_maxima = 2; // 2 km/h, 2000 m/h – velocidade rapida
134 }
135
136 }
137
138 /**----- MAIN LOOP -----*/
139 void loop() {
140
141     LEDS(1); // LEDs dos sensores das rodas acendem (se LEDS(0) os leds ficam ←
        sempre OFF)
142     Button(); // Chama a funcao do botao de pressço
143     velocidade(); // Chama a funcao da velocidade das rodas
144     sentido(); // Chama a funcao do sentido das rodas
145
146     //Serial.print("Velocidade Maxima: ");
147     //Serial.println(veloc_maxima);
148

```

## 7. Apêndice

```
149 // Sensores de Distancias
150 DISTANCE_LEFT=GetDistance_left(SENSOR_DISTANCE_LEFT);
151 DISTANCE_RIGHT=GetDistance_right(SENSOR_DISTANCE_RIGHT);
152 DISTANCE_SLEFT=GetDistance_sleft(SENSOR_DISTANCE_SLEFT);
153 DISTANCE_SRIGHT=GetDistance_sright(SENSOR_DISTANCE_SRIGHT);
154 DISTANCE_FRONTAL=GetDistance_frontal(SENSOR_DISTANCE_FRONTAL);
155 DISTANCE_GROUND=GetDistance_ground(SENSOR_DISTANCE_GROUND);
156
157 /* Serial.print("RIGHT: ");
158 Serial.println(DISTANCE_RIGHT);
159 Serial.print("LEFT: ");
160 Serial.println(DISTANCE_LEFT);
161 Serial.print("SRIGHT: ");
162 Serial.println(DISTANCE_SRIGHT);
163 Serial.print("SLEFT: ");
164 Serial.println(DISTANCE_SLEFT);
165 Serial.print("FRONTAL: ");
166 Serial.println(DISTANCE_FRONTAL);
167 Serial.print("GROUND: ");
168 Serial.println(DISTANCE_GROUND);*/
169
170 // Sensores de Forca
171 FORCE_LEFT=GetForce(SENSOR_FORCE_LEFT);
172 FORCE_RIGHT=GetForce(SENSOR_FORCE_RIGHT);
173
174 /* Serial.print("FORCA LEFT: ");
175 Serial.println(FORCE_LEFT);
176 Serial.print("FORCA RIGHT: ");
177 Serial.println(FORCE_RIGHT);*/
178
179 // Condicao de funcionamento dos travoes automaticos
180 if(digitalRead(PushButton)==LOW){ // se o botao de pressao nao ←
181     // estiver a ser pressionado
182     if((DISTANCE_RIGHT>= 15 && DISTANCE_LEFT>= 15) || (DISTANCE_SLEFT<= 30) || (←
183         DISTANCE_SRIGHT<= 30) || (DISTANCE_FRONTAL<= 30) || (DISTANCE_GROUND >= 30)←
184     ){
185         servos(80,100); // os servos travam
186         digitalWrite(LEDobstaculo, HIGH); // LED dos obstaculos acende
187         BuzzerON(); // Buzzer toca (activado ON)
188     } else { // caso contrario
189         BuzzerOFF(); // o Buzzer nao toca (desligado←
190         // OFF
191         servos(110,80); // Posiçõo inicial dos servos (←
192         // nao trava)
193         digitalWrite(LEDobstaculo, LOW); // LED dos obstaculos apagado
194     }
195 }
196 }
197 }
198 }
199 }
200
201 /*----- Funcao SERVOS -----*/
202 void servos(int postravagemdir, int postravagemesq) { // parametros de entrada, ←
203     // angulo de travagem (roda direita, roda esquerda)
204     myservoLEFT.write(postravagemesq); // transmite o angulo ←
205     // definido para o servo esquerdo
206     myservoRIGHT.write(postravagemdir); // transmite o angulo ←
207     // definido para o servo direito
208 }
209
210 /*----- Funcao Button -----*/
211 void Button() { // funcao que controla o botao de pressao
212     ButtonState = digitalRead(PushButton); // le o estado do botao
213
214     if(ButtonState == HIGH){ // se o botao for pressionado
215         digitalWrite(LEDButton, HIGH); // LED acende (AZUL)
216         servos(110,80); // os servo motores mudam a posicao (nao ←
217         // travam)
218         BuzzerOFF(); // Buzzer desligado
219         digitalWrite(LEDobstaculo, LOW); // LED dos obstaculos apagado
220     }
221 }
```

```

210 else{ // caso contrario
211     digitalWrite(LEDButton, LOW); // LED do botao apagado
212 }
213 }
214
215 /*----- Funcao Buzzer ON -----*/
216 void BuzzerON() { // liga o buzzer (barulho de alarme)
217     tone(BuzzerPin, 440); // utilizacao da funcao tone da biblioteca do arduino ←
218     (440Hz nota A)
219 }
220 /*----- Funcao Buzzer OFF -----*/
221 void BuzzerOFF() { // desliga o buzzer (barulho de alarme)
222     noTone(BuzzerPin); // utilizacao da funcao noTone da biblioteca do arduino
223 }
224
225 /*----- Funcao do filtro da media ← -----*/
226 float MeanFilter(int pin, int numSamples) { // parametros de entrada PIN de entrada ←
227     do sensor e numero de amostras
228     int sum=0; // inicializacao do soma
229
230     for(int i=0;i<numSamples;i++){ // ciclo para fazer a soma de todas as amostras
231         sum+=analogRead(pin); // faz o soma de todas as leituras da entrada ←
232         analogica pin
233     }
234     return ((int) (sum/numSamples)); // devolve a media da soma de todas as amostras
235 }
236 /*----- funcao do sensor de distancia perna esquerda ← -----*/
237 int GetDistance_left(int pin) { // funcao para definir a distancia ←
238     do sensor da perna esquerda
239     // int sensorValue = analogRead(pin); // guarda a leitura do pin ←
240     analogico na variavel sensorValue
241     int sensorValue=MeanFilter(pin, 30); // guarda a media calculada com 30 ←
242     amostras da leitura do pin analogico do sensor
243     float SensorOut = sensorValue * (5.0 / 1024.0); // Converte o valor lido o ADC ←
244     (0-1023) para voltagem (0 - 5V)
245     float dist_cm = 11.665 * pow(SensorOut, -0.754); // regressao de potencia distancia
246     if(dist_cm>50) dist_cm=50; // caso a distancia for maior que ←
247     50cm devolve 50cm
248     if(dist_cm<0) dist_cm=0; // caso a distancia for menor que 0 ←
249     cm devolve 0cm
250     return ((int)dist_cm); // retorna a distancia em ←
251     centimetros
252 }
253 /*----- funcao do sensor de distancia perna direita ← -----*/
254 int GetDistance_right(int pin) { // funcao para definir a distancia ←
255     do sensor da perna direita
256     // int sensorValue = analogRead(pin); // guarda a leitura do pin ←
257     analogico na variavel sensorValue
258     int sensorValue=MeanFilter(pin, 30); // guarda a media calculada com 30 ←
259     amostras da leitura do pin analogico do sensor
260     float SensorOut = sensorValue * (5.0 / 1024.0); // Converte o valor lido o ADC ←
261     (0-1023) para voltagem (0 - 5V)
262     float dist_cm = 12.364 * pow(SensorOut, -0.877); // regressao de potencia distancia
263     if(dist_cm>50) dist_cm=50; // caso a distancia for maior que ←
264     50cm devolve 50cm
265     if(dist_cm<0) dist_cm=0; // caso a distancia for menor que 0 ←
266     cm devolve 0cm
267     return ((int)dist_cm); // retorna a distancia em ←
268     centimetros
269 }
270 /*-----funcao sensor de distancia lateral direito ← -----*/
271 int GetDistance_sright(int pin) { // funcao para definir a ←

```

## 7. Apêndice

```
    distancia do sensor da lateral direita
259 //int sensorValue = analogRead(pin);           // guarda a leitura do pin ←
    analogico na variavel sensorValue
260 int sensorValue=MeanFilter(pin, 30);           // guarda a media calculada com ←
    30 amostras da leitura do pin analogico do sensor
261 //float SensorOut = sensorValue * (5.0 / 1024.0); // Converte o valor lido o ADC←
    (0-1023) para voltagem (0 - 5V)
262 float dist_cm = map(sensorValue, 10, 650, 80, 10); // mapeia a voltagem guardada no ←
    sensorValue e converte em cm entre 10 e 80cm
263 //float dist_cm = 29.982 * pow(SensorOut, -1.325); // regressao de potencia ←
    distancia
264     if(dist_cm>=80) dist_cm=80;                 // caso a distancia for maior que←
        80cm devolve 80cm
265     if(dist_cm<10) dist_cm=10;                 // caso a distancia for menor que←
        10cm devolve 10cm
266 return ((int)dist_cm);                         // retorna a distancia em ←
    centimetros
267 }
268
269 /*-----funcao sensor de distancia lateral esquerda ←
    -----*/
270 int GetDistance_sleft(int pin) {                 // funcao para definir a distancia ←
    do sensor da lateral esquerda
271 //int sensorValue = analogRead(pin);           // guarda a leitura do pin ←
    analogico na variavel sensorValue
272 int sensorValue=MeanFilter(pin, 30);           // guarda a media calculada com ←
    30 amostras da leitura do pin analogico do sensor
273 //float SensorOut = sensorValue * (5.0 / 1024.0); // Converte o valor lido o ADC←
    (0-1023) para voltagem (0 - 5V)
274 float dist_cm = map(sensorValue, 10, 700, 80, 10); // mapeia a voltagem guardada no ←
    sensorValue e converte em cm entre 10 e 80cm
275 //float dist_cm = 36.612 * pow(SensorOut, -1.314); // regressao de potencia ←
    distancia
276     if(dist_cm>=80) dist_cm=80;                 // caso a distancia for maior que←
        80cm devolve 80cm
277     if(dist_cm<10) dist_cm=10;                 // caso a distancia for menor que←
        10cm devolve 10cm
278 return ((int)dist_cm);                         // retorna a distancia em ←
    centimetros
279 }
280
281 /*-----funcao sensor de distancia frontal ←
    -----*/
282 int GetDistance_frontal(int pin) {               // funcao para definir a ←
    distancia do sensor frontal
283 //int sensorValue = analogRead(pin);           // guarda a leitura do pin ←
    analogico na variavel sensorValue
284 int sensorValue=MeanFilter(pin, 30);           // guarda a media calculada com←
    30 amostras da leitura do pin analogico do sensor
285 //float SensorOut = sensorValue * (5 / 1024.0); // Converte o valor lido o ADC←
    (0-1023) para voltagem (0 - 5V)
286 float dist_cm = map(sensorValue, 10, 600, 80, 10); // mapeia a voltagem guardada ←
    no sensorValue e converte em cm entre 10 e 80cm
287 //float dist_cm = 31.528 * pow(SensorOut, -1.209); // regressao de potencia ←
    distancia
288     if(dist_cm>=80) dist_cm=80;                 // caso a distancia for maior ←
        que 80cm devolve 80cm
289     if(dist_cm<10) dist_cm=10;                 // caso a distancia for menor ←
        que 10cm devolve 10cm
290 return ((int)dist_cm);                         // retorna a distancia em ←
    centimetros
291 }
292
293 /*-----funcao sensor de distancia do chao ←
    -----*/
294 int GetDistance_ground(int pin) {               // funcao para definir a ←
    distancia do sensor do chao
295 //int sensorValue = analogRead(pin);           // guarda a leitura do pin ←
    analogico na variavel sensorValue
296 int sensorValue=MeanFilter(pin, 30);           // guarda a media calculada com ←
```

```

30 amostras da leitura do pin analogico do sensor
297 //float SensorOut = sensorValue * (5.0 / 1024.0); // Converte o valor lido o ADC↔
    (0-1023) para voltagem (0 - 5V)
298 float dist_cm = map(sensorValue, 50, 300, 50, 10); // mapeia a voltagem guardada no ↔
    sensorValue e converte em cm entre 10 e 50cm
299 //float dist_cm = 29.564 * pow(SensorOut, -1.064); // regressao de potencia ↔
    distancia
300     if(dist_cm>=50) dist_cm=50; // caso a distancia for maior que↔
        50cm devolve 50cm
301     if(dist_cm<10) dist_cm=10; // caso a distancia for menor que↔
        10cm devolve 10cm
302 return ((int)dist_cm); // retorna a distancia em ↔
    centimetros
303 }
304
305 /*—————funcao sensores de forza dos punhos ↔
    —————*/
306 int GetForce(int pin) {
307     int SensorReading; // Variavel para guardar a leitura em int do canal ↔
        analogico
308     double SensorVoltage; // Variavel para guardar o valor da voltagem do sensor
309     double SensorResistance; // Variavel para guardar o valor da resistencia do ↔
        sensor
310     double SensorConductance; // Variavel para guardar o valor da condutancia do ↔
        sensor
311     double ForceLbs; // Variavel para guardar o valor da forza lida pelo ↔
        sensor
312     double ForcePercent;
313
314     // SensorReading = analogRead(pin); // Recebe o valor do canal analogico.
315     SensorReading = MeanFilter(pin, 5); // recebe o valor calculado atraves do filtro ↔
        de media com 5 amostras
316
317     SensorVoltage = int(map(SensorReading,0,1023,0,5000)); // Passa o valor lido para ↔
        tenção (mV).
318
319     if (SensorVoltage < 0.0001) { // caso o valor de voltagem lido seja inferior a ↔
        0.0001 mV
320         ForceLbs=0; // Forza ç devolvida como 0.
321     }
322     else { // caso contrario
323         // Calcula a resistencia do sensor
324         // Rsensor = (Rfixed*(Vtotal-Vout))/Vout
325         SensorResistance = (1000000*(5000-SensorVoltage))/SensorVoltage;
326         // Serial.print("R (mohms) = ");
327         // Serial.println(SensorResistance);
328
329         // Calcula a condutancia do sensor
330         // C = 1/R(ohms)=1000000/R(mohms)
331         SensorConductance = 1000000/SensorResistance;
332         // Serial.print("Conductance in mohms: ");
333         // Serial.println(SensorConductance);
334
335         // Calcula a forza em lbs.
336         ForceLbs = (SensorConductance-0.0012)/0.00014;
337         // Aplicacao do modelo de regressao linear para obter o valor da forza
338         // ForceLbs = 5.3157*SensorConductance;
339         // Serial.print("Force lb = ");
340         // Serial.println(ForceLbs);
341     }
342     // retorna o valor da forza
343     return ((int)((ForceLbs*100)/50000));
344 }
345
346 /*————— Funcao para calcular os rpm e a velocidade ↔
    —————*/
347 int velocidade() {
348     // RODA ESQUERDA
349     // Atualiza contador a cada 1 segundos
350     if (millis() - timeold_esq >= 1000)

```

## 7. Apêndice

```
351 {
352     detachInterrupt(0); // Desabilita interrupcao durante o ←
353     calculo
354     rpm_esq = (pulsos_esq*60)/pulsos_por_volta; // numero de (pulsos obtidos * 60) ←
355     // por numero de pulsos totais
356     veloc_esq = 2*PI*0.00008*rpm_esq*60; // velocidade = 2*PI*raio*rpm*60 (←
357     // km/h)
358     timeold_esq = millis(); // temporizador e atualizado
359     pulsos_esq = 0; // o contador de pulsos ç ←
360     reiniciado a 0
361
362     //Mostra o valor de RPM no serial monitor
363     Serial.print("RPM_esq = ");
364     Serial.print(rpm_esq, DEC);
365     //Mostra o valor da Velocidade no serial monitor
366     Serial.print(" Velocidade (km/h) = ");
367     Serial.println(veloc_esq);
368
369     // Habilita interrupcao
370     attachInterrupt(digitalPinToInterrupt (SHALL_ESQ_FRENTE), contador_esq, FALLING←
371     ); // FALLING for when the pin goes from high to low.
372 }
373
374 // RODA DIREITA
375 //Atualiza contador a cada 1 segundos
376 if (millis() - timeold_dir >= 1000)
377 {
378     detachInterrupt(1); // Desabilita interrupcao durante o ←
379     calculo
380     rpm_dir = (pulsos_dir*60)/pulsos_por_volta; // numero de (pulsos obtidos * 60) ←
381     // por numero de pulsos totais
382     veloc_dir = 2*PI*0.00008*rpm_dir*60; // velocidade = 2*PI*raio*rpm*60 (←
383     // km/h)
384     timeold_dir = millis(); // temporizador e atualizado
385     pulsos_dir = 0; // o contador de pulsos ç ←
386     reiniciado a 0
387
388     //Mostra o valor de RPM no serial monitor
389     Serial.print("RPM_dir = ");
390     Serial.print(rpm_dir, DEC);
391     //Mostra o valor da Velocidade no serial monitor
392     Serial.print(" Velocidade (km/h) = ");
393     Serial.println(veloc_dir);
394
395     // Habilita interrupcao
396     attachInterrupt(digitalPinToInterrupt (SHALL_DIR_FRENTE), contador_dir, FALLING←
397     ); // FALLING for when the pin goes from high to low.
398 }
399
400 if(veloc_esq && veloc_dir >= veloc_maxima){ // delimita a velocidade de andamento ←
401     do andarilho (velocidade de segurança)
402     servos(80,100); // servos travam
403     BuzzerON(); // Buzzer toca (alarme)
404 }
405 }
406
407 /*————— Contadores para os pulsos da velocidade ←
408 *—————*/
409 void contador_esq(){ // cada vez que uma interrupcao e ativada esta funcao e ←
410     chamada
411     //Incrementa contador
412     pulsos_esq++; // contador para os pulsos da velocidade da roda esquerda
413 }
414
415 void contador_dir(){ // cada vez que uma interrupcao e ativada esta funcao e ←
416     chamada
417     //Incrementa contador
418     pulsos_dir++; // contador para os pulsos da velocidade da roda direita
419 }
```

```

407
408 /*————— Funcao sentido (Hall Sensor) ←
—————*/
409 int sentido() { // funcao que permite identificar o sentido de ←
    rotacao das rodas
410 if (pronto_esq == true) { // assim que o sentido estiver definido
411     if (sentido_esq == HIGH) { // se a variavel sentido for HIGH roda esta a girar←
        para a frente
412         rotacao_esq++;
413         Serial.println (" RODA ESQUERDA FRENTE ");
414     } else { // caso contrario (se sentido = LOW) roda gira para←
        tras
415         rotacao_esq--;
416         Serial.println (" RODA ESQUERDA TRAS ");
417     }
418     pronto_esq = false;
419     //Serial.print (" Contagem (ESQUERDA) = ");
420     //Serial.println (rotacao_esq);
421 }
422
423 if (pronto_dir == true) { // assim que o sentido estiver definido
424     if (sentido_dir == HIGH) { // se a variavel sentido for HIGH roda esta a girar←
        para a frente
425         rotacao_dir++;
426         Serial.println (" RODA DIREITA FRENTE ");
427     } else { // caso contrario (se sentido = LOW) roda gira para←
        tras
428         rotacao_dir--;
429         Serial.println (" RODA DIREITA TRAS ");
430     }
431     pronto_dir = false;
432     //Serial.print (" Contagem (DIREITA) = ");
433     //Serial.println (rotacao_dir);
434 }
435 }
436
437 // INTERRUPTAO RODA ESQUERDA
438 void interrupt_esq () { // funcao que e chamada com a ←
    interrupcao externa do sensor de hall
439     if (digitalRead(encoderPinA) == HIGH) { // se a leitura do sensor de hall do ←
        pinA dor HIGH
440         sentido_esq = digitalRead(encoderPinB); // entao o sentido da roda vai ser dado←
        pelo estado do sensor pinB (1 ou 0)
441     } else { // caso contrario
442         sentido_esq = !digitalRead(encoderPinB); // o sentido vai ser igual ao esatdo ←
        NAO pinB (1 ou 0)
443     }
444     pronto_esq = true; // coloca se a variavel a true para ←
        iniciar a funcao sentido ()
445 }
446
447 // INTERRUPTAO RODA DIREITA
448 void interrupt_dir () { // funcao que e chamada com a ←
    interrupcao externa do sensor de hall
449     if (digitalRead(encoderPinC) == HIGH) { // se a leitura do sensor de hall do ←
        pinC dor HIGH
450         sentido_dir = digitalRead(encoderPinD); // entao o sentido da roda vai ser dado←
        pelo estado do sensor pinD (1 ou 0)
451     } else { // caso contrario
452         sentido_dir = !digitalRead(encoderPinD); // o sentido vai ser igual ao esatdo ←
        NAO pinD (1 ou 0)
453     }
454     pronto_dir = true; // coloca se a variavel a true para ←
        iniciar a funcao sentido ()
455 }
456
457 /*————— Funcao controla os LEDS do HALL SENSOR ←
—————*/
458 void LEDS(boolean led) {
459     // LEDS para os SENSORES HALL

```

## 7. Apêndice

---

```
460 if(led == 1){
461     if((digitalRead(SHALL_ESQ_FRENTE)==LOW)){ // Quando detecta o iman
462         digitalWrite(LEDpin_ESQ_FRENTE, HIGH); // Acende LED
463     } else {
464         digitalWrite(LEDpin_ESQ_FRENTE, LOW); // Apaga LED
465     }
466     if((digitalRead(SHALL_ESQ_TRAS)==LOW)){ // Quando detecta o iman
467         digitalWrite(LEDpin_ESQ_TRAS, HIGH); // Acende LED
468     } else {
469         digitalWrite(LEDpin_ESQ_TRAS, LOW); // Apaga LED
470     }
471     if((digitalRead(SHALL_DIR_TRAS)==LOW)){ // Quando detecta o iman
472         digitalWrite(LEDpin_DIR_TRAS, HIGH); // Acende LED
473     } else {
474         digitalWrite(LEDpin_DIR_TRAS, LOW); // Apaga LED
475     }
476     if((digitalRead(SHALL_DIR_FRENTE)==LOW)){ // Quando detecta o iman
477         digitalWrite(LEDpin_DIR_FRENTE, HIGH); // Acende LED
478     } else {
479         digitalWrite(LEDpin_DIR_FRENTE, LOW); // Apaga LED
480     }
481 }
482
483 if(led == 0){
484     digitalWrite(LEDpin_ESQ_FRENTE, LOW); // TODOS OS LEDS OFF
485     digitalWrite(LEDpin_ESQ_TRAS, LOW);
486     digitalWrite(LEDpin_DIR_TRAS, LOW);
487     digitalWrite(LEDpin_DIR_FRENTE, LOW);
488 }
489 }
```